

# $K \rightarrow \pi\pi$ 崩壊における

## $\varepsilon'$ の格子計算

富井 正明 (コネチカット大学)

arXiv:2004.09440 (RBC & UKQCD Collaborations) will be published in PRD

Co-authors: R. Abbott, T. Blum, P.A. Boyle, M. Bruno, N.H. Christ, D. Hoying, C. Jung, C. Kelly, C. Lehner, R.D. Mawhinney, D.J. Murphy, C.T. Sachrajda, A. Soni, T. Wang



## The RBC & UKQCD collaborations

### [BNL and BNL/RBRC](#)

Yasumichi Aoki (KEK)  
Peter Boyle (Edinburgh)  
Taku Izubuchi  
Yong-Chull Jang  
Chulwoo Jung  
Christopher Kelly  
Meifeng Lin  
Aaron Meyer  
Hiroshi Ohki  
Shigemi Ohta (KEK)  
Amarjit Soni

### [UC Boulder](#)

Oliver Witzel

### [CERN](#)

Mattia Bruno

### [Columbia University](#)

Ryan Abbot  
Norman Christ  
Duo Guo  
Bob Mawhinney

Bigeng Wang  
Tianle Wang  
Yidi Zhao

### [University of Connecticut](#)

Tom Blum  
Dan Hoying (BNL)  
Luchang Jin (RBRC)  
Cheng Tu  
Masaaki Tomii

### [Edinburgh University](#)

Luigi Del Debbio  
Felix Erben  
Vera Gülpers  
Tadeusz Janowski  
Julia Kettle  
Michael Marshall  
Fionn Ó hÓgáin  
Antonin Portelli  
Tobias Tsang  
Andrew Yong  
Azusa Yamaguchi

### [UAM Madrid](#)

Julien Frison

### [University of Liverpool](#)

Nicolas Garron

### [MIT](#)

David Murphy

### [Peking University](#)

Xu Feng

### [University of Regensburg](#)

Christoph Lehner (BNL)

### [University of Southampton](#)

Nils Asmussen  
Jonathan Flynn  
Ryan Hill  
Andreas Jüttner  
James Richings  
Chris Sachrajda

### [Stony Brook University](#)

Jun-Sik Yoo  
Sergey Syritsyn (RBRC)

# 内容

- イントロ  
  - ▶  $K \rightarrow \pi\pi$  における CP の破れと  $\Delta I = 1/2$  則
  - ▶ 計算方法の概略
  - ▶ 前回の結果 (RBC/UKQCD, 2015)
- $K \rightarrow \pi\pi$  行列要素
- 非摂動繰り込みと結果
- 今後の課題

# $K \rightarrow \pi\pi$ における CP の破れ

$$|K_L\rangle = \overset{\text{CP odd}}{|K_2\rangle} + \epsilon \overset{\text{CP even}}{|K_1\rangle}$$

$\swarrow \epsilon'$   $\downarrow \epsilon$   
 direct CPV indirect CPV  
 $\langle \pi\pi |$   
 CP even

$$\eta_{00} \equiv \frac{A(K_L \rightarrow \pi^0\pi^0)}{A(K_S \rightarrow \pi^0\pi^0)}$$

$$\eta_{+-} \equiv \frac{A(K_L \rightarrow \pi^+\pi^-)}{A(K_S \rightarrow \pi^+\pi^-)}$$

- $K_L \rightarrow \pi\pi$ : CP 極限で禁止

- $\epsilon'$  vs  $\epsilon$

▶  $\text{Re}(\epsilon'/\epsilon)_{\text{exp}} = 16.6(2.3) \times 10^{-4}$  (2000年頃)

▶ SM で説明可能か?

$$\epsilon = \frac{\eta_{00} + 2\eta_{+-}}{3}$$

$$\epsilon' = \frac{\eta_{+-} - \eta_{00}}{3}$$

# $I = 0$ & $I = 2$ 崩壊モード

$$\langle (\pi\pi)_{I=0} | = \sqrt{1/3} \langle \pi^0 \pi^0 | + \sqrt{2/3} \langle \pi^+ \pi^- |, \quad \langle (\pi\pi)_{I=2}^{I_3=0} | = -\sqrt{2/3} \langle \pi^0 \pi^0 | + \sqrt{1/3} \langle \pi^+ \pi^- |$$

- アイソスピン固有状態への振幅

$$A_I = \langle (\pi\pi)_I | H_W | K \rangle$$

- アイソスピン極限で計算する場合に便利

- $A_2$ : 高精度に計算可能 (PRL108 (2012) 141601, PRD91 (2015) 074502)

▶ 2つの格子間隔: 2.36 GeV, 1.73 GeV → 連続極限

▶  $\text{Re } A_2 = 1.50(4)_{\text{stat}}(14)_{\text{sys}} \times 10^{-8} \text{ GeV}$ ,  $\text{Im } A_2 = -6.99(20)_{\text{stat}}(84)_{\text{sys}} \times 10^{-13} \text{ GeV}$

cf:  $(\text{Re } A_2)_{\text{exp}} = 1.479(4) \times 10^{-8} \text{ GeV}$

- $\epsilon'$ :  $A_0$  &  $A_2$  の両方必要

# $\Delta I = 1/2$ 則

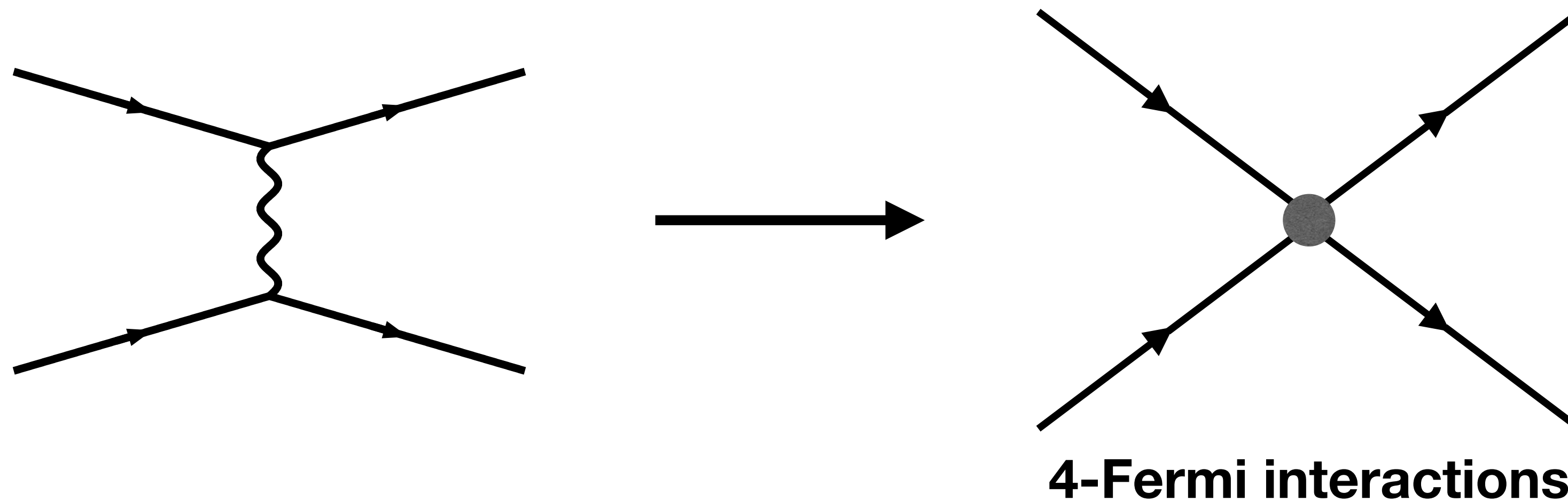
- 実験事実

$$\frac{\text{Re } A_0}{\text{Re } A_2} = 22.45(6) : \text{large suppression of } \Delta I = 3/2 (A_2) \text{ mode}$$

- 摂動 QCD の LO:  $\text{Re } A_0 = 2 \text{ Re } A_2$
- 10 倍が説明つかない。 QCD or BSM?

# 弱崩壊現象へのアプローチ

- 2つの典型的スケール
  - ▶ 電弱スケール:  $m_W = 80 \text{ GeV}$ ,  $m_Z = 91 \text{ GeV}$
  - ▶ QCD スケール:  $\Lambda_{\text{QCD}} \approx 300 \text{ MeV}$
- 有効相互作用
  - ▶ contributions from heavy particles: effective interactions



# 行列要素の計算方法

- 有効相互作用

ウィルソン係数

- 重い粒子の情報  $t, W, Z, \dots$
- 摂動 QCD

$$H_W = \sum_i \underbrace{w_i^R(\mu)}_{\text{ウィルソン係数}} \underbrace{O_i^R(\mu)}_{\text{有効演算子}}$$

有効演算子 (4フェルミなど)

- 軽い粒子からなる  $g, u, d, s, \dots$
- 格子 QCD の担当

- 格子 QCD で  $M_i^{\text{lat}} = \langle \text{out} | O_i^{\text{lat}} | \text{in} \rangle$

- ▶ フル QCD の効果が計算可能

- 繰り込み

- ▶  $O_i^{\text{lat}} \rightarrow O_i^R(\mu), \quad M_i^{\text{lat}} \rightarrow M_i^R(\mu)$  : 非摂動繰り込み

- ▶  $w_i^{\overline{\text{MS}}}(\mu) \rightarrow w_i^R(\mu)$  : 摂動マッチング



# $\Delta S = 1$ の 4 フェルミ演算子

- $(\bar{s}q)_{V-A}(\bar{q}'q'')_{V\pm A} = \bar{s}\gamma_\mu(1 - \gamma_5)q' \cdot \bar{q}'\gamma_\mu(1 \pm \gamma_5)q''$
- $\alpha, \beta$ : color indices

$$Q_1 = (\bar{s}_\alpha u_\beta)_{V-A} (\bar{u}_\beta d_\alpha)_{V-A},$$

$$Q_2 = (\bar{s}u)_{V-A} (\bar{u}d)_{V-A},$$

$$Q_3 = (\bar{s}d)_{V-A} \sum_q (\bar{q}q)_{V-A},$$

$$Q_4 = (\bar{s}_\alpha d_\beta)_{V-A} \sum_q (\bar{q}_\beta q_\alpha)_{V-A},$$

$$Q_5 = (\bar{s}d)_{V-A} \sum_q (\bar{q}q)_{V+A},$$

$$Q_6 = (\bar{s}_\alpha d_\beta)_{V-A} \sum_q (\bar{q}_\beta q_\alpha)_{V+A},$$

$$Q_7 = \frac{3}{2} (\bar{s}d)_{V-A} \sum_q e_q (\bar{q}q)_{V+A},$$

$$Q_8 = \frac{3}{2} (\bar{s}_\alpha d_\beta)_{V-A} \sum_q e_q (\bar{q}_\beta q_\alpha)_{V+A},$$

$$Q_9 = \frac{3}{2} (\bar{s}d)_{V-A} \sum_q e_q (\bar{q}q)_{V-A},$$

$$Q_{10} = \frac{3}{2} (\bar{s}_\alpha d_\beta)_{V-A} \sum_q e_q (\bar{q}_\beta q_\alpha)_{V-A},$$

## Current-current operators

- $Q_1^c = (\bar{s}_\alpha c_\beta)_{V-A} (\bar{c}_\beta d_\alpha)_{V-A}$  &  $Q_2^c = (\bar{s}c)_{V-A} (\bar{c}d)_{V-A}$   
enter when  $n_f \geq 4$

## QCD penguin operators

- sum over  $q$  runs for all active quarks

## EW penguin operators

# $\epsilon'$ の計算方法

- アイソスピン極限の式

$$\text{Re} \left( \frac{\epsilon'}{\epsilon} \right) = \text{Re} \left\{ \frac{i\omega e^{i\delta_2 - \delta_0}}{\sqrt{2}\epsilon} \left[ \frac{\text{Im} A_2}{\text{Re} A_2} - \frac{\text{Im} A_0}{\text{Re} A_0} \right] \right\} \quad (\omega = \text{Re} A_2 / \text{Re} A_0)$$

$\swarrow$   $\pi\pi$  phase shifts

Lellouch-Lüscher finite volume correction

Renormalization matrix

$$A_I = \underbrace{F}_{\text{Lellouch-Lüscher}} \frac{G_F}{2} V_{us}^* V_{ud} \sum_{i,j} \underbrace{[z_i(\mu) + \tau y_i(\mu)]}_{\substack{\text{Wilson coefs.} \\ \text{pQCD}}} \underbrace{Z_{ij}(\mu)}_{\substack{\text{LQCD} \\ (+\text{pQCD})}} \underbrace{\langle (\pi\pi)_I | Q_j^{\text{lat}} | K \rangle}_{\text{LQCD}}$$

- F &  $\delta_I$ :  $\pi\pi$  散乱から (T. Wang, etal RBC/UKQCD in preparation)
  - 2点関数  $\langle O_{\pi\pi}(\vec{p}, t) O_{\pi\pi}(\vec{p}, 0)^\dagger \rangle$
  - Lüscher's の方法 [Commun.Math.Phys. 219 (2001) 31]

# 前回 (2015年) の結果

Z. Bai et al, (RBC/UKQCD) *PRL*115(2015) 21, 212001

- シミュレーションパラメータ

- ▶  $32^3 \times 64$  (2+1 メビウスフェルミオン)
- ▶ およそ物理点直上:  $m_\pi = 143.1(2.0)$  MeV,  $m_K = 490.6(2.2)$  MeV
- ▶ カットオフ:  $1/a = 1.3784(68)$  GeV
- ▶ 統計サンプル: 216

- $\text{Re } A_0$  &  $\text{Im } A_0$ : 大きな統計/系統誤差

*disconnected diagrams* 摂動計算など

- ▶  $\epsilon'$

$$\text{Re}(\epsilon'/\epsilon)_{\text{SM}} = 1.38(5.15)_{\text{stat}}(4.59)_{\text{sys}} \times 10^{-4} \quad \longleftrightarrow \quad \text{Re}(\epsilon'/\epsilon)_{\text{exp}} = 16.6(2.3) \times 10^{-4}$$

# 今回のアップデート

- 同じパラメータだけど
  - ▶ 統計サンプル：216 → 741
  - ▶  $\pi\pi$  の演算子を複数用意 → 非物理的状態によるゴミを除去（後で詳説）
  - ▶ 繰り込みスケールを非摂動的に持ち上げ → 摂動計算の部分を改善（後で）
- 要するに色々精度を高める方法を取り入れた

# 内容

- ☑ イントロ
- $K \rightarrow \pi\pi$  行列要素
  - ▶ 行列要素の計算方法と on-shell 状態の作り方
  - ▶  $\pi\pi$  散乱の位相差計算での教訓
  - ▶  $K \rightarrow \pi\pi$
- 非摂動繰り込みと結果
- 今後の課題

# 行列要素の計算方法

- ユークリッド空間上の相関関数 (ゼロ空間運動量/重心系の場合)

$$\int d^3x_{\pi\pi} d^3x_K \langle O_{\pi\pi}(t_{\pi\pi}, \vec{x}_{\pi\pi}) H_W(t, \vec{0}) O_K(t_K, \vec{x}_K)^\dagger \rangle$$

zero-momentum projection ( $e^{i\vec{p}\cdot\vec{x}} = 1$ )

$$= \sum_{\underline{m}, \underline{n}} \langle 0 | O_{\pi\pi} | \pi\pi, \underline{m} \rangle \frac{1}{2E_{\pi\pi, \underline{m}}} \langle \pi\pi, \underline{m} | H_W | K, \underline{n} \rangle \frac{1}{2E_{K, \underline{n}}} \langle K, \underline{n} | O_K^\dagger | 0 \rangle e^{-m_{\pi\pi, \underline{m}}(t_{\pi\pi} - t)} e^{-m_{K, \underline{n}}(t - t_K)}$$

$O_{\pi\pi}/O_K$  と同じ量子数でゼロ運動量状態の足し上げ

もしも一番軽い基底状態に興味があれば...

$t_{\pi\pi} - t$  &  $t - t_K$  の大きい所を見れば良い:

$$\rightarrow \langle 0 | O_{\pi\pi} | \pi\pi, 0 \rangle \frac{1}{2E_{\pi\pi, 0}} \langle \pi\pi, 0 | H_W | K, 0 \rangle \frac{1}{2E_{K, 0}} \langle K, 0 | O_K^\dagger | 0 \rangle e^{-m_{\pi\pi, 0}(t_{\pi\pi} - t)} e^{-m_{K, 0}(t - t_K)}$$

# 行列要素の計算方法

- ユークリッド空間上の相関関数 (ゼロ空間運動量/重心系の場合)

$$\int d^3x_{\pi\pi} d^3x_K \langle O_{\pi\pi}(t_{\pi\pi}, \vec{x}_{\pi\pi}) H_W(t, \vec{0}) O_K(t_K, \vec{x}_K)^\dagger \rangle$$

zero-momentum projection ( $e^{i\vec{p}\cdot\vec{x}} = 1$ )

$$= \sum_{\underline{m}, \underline{n}} \langle 0 | O_{\pi\pi} | \pi\pi, \underline{m} \rangle \frac{1}{2E_{\pi\pi, \underline{m}}} \langle \pi\pi, \underline{m} | H_W | K, \underline{n} \rangle \frac{1}{2E_{K, \underline{n}}} \langle K, \underline{n} | O_K^\dagger | 0 \rangle e^{-m_{\pi\pi, \underline{m}}(t_{\pi\pi} - t)} e^{-m_{K, \underline{n}}(t - t_K)}$$

$O_{\pi\pi}/O_K$  と同じ量子数でゼロ運動量状態の足し上げ

もしも一番軽い基底状態に興味があれば...

$t_{\pi\pi} - t$  &  $t - t_K$  の大きい所を見れば良い:

$$\rightarrow \langle 0 | O_{\pi\pi} | \pi\pi, 0 \rangle \frac{1}{2E_{\pi\pi, 0}} \langle \pi\pi, 0 | H_W | K, 0 \rangle \frac{1}{2E_{K, 0}} \langle K, 0 | O_K^\dagger | 0 \rangle e^{-m_{\pi\pi, 0}(t_{\pi\pi} - t)} e^{-m_{K, 0}(t - t_K)}$$

これが欲しかったもの？

# On-shell $\pi\pi$ state は一番軽くはない

- K中間子の基底状態はフィジカル： $E_K = m_K \approx 500 \text{ MeV}$
- $\pi\pi$  基底状態は  $\pi$  が2つともゼロ運動量： $E_{\pi\pi,0} \approx 270 \text{ MeV}$ 
  - ▶ 欲しいのは  $|E_{\pi\pi} = m_K \approx 500 \text{ MeV}\rangle$  ( $\pi$  と  $\pi$  の相対運動量が必要)

体積を適切に調節することが必要



- 考えられる作戦
  - 💡 有限体積で計算している → 運動量が離散的 (3,4 番目くらいに軽い状態が on-shell )
    - ▶ 軽い状態全部考慮して相関関数を解析する
    - ▶ 境界条件を変えて不要な内部運動量のモードを禁止する



# I = 2 の場合

(PRL108 (2012) 141601, PRD91 (2015) 074502)

- ダウンクォークに反周期境界条件

- ▶  $d(x + L\hat{e}_{x_1, \dots, x_n}) = -d(x)$

- ▶ 荷電パイオンも反周期境界条件を満たす

$$\pi^\pm(x + L\hat{e}_{x_1, \dots, x_n}) = -\pi^\pm(x)$$

- ▶  $\tilde{\pi}^\pm(\vec{p}, t)|_{p_i=0} = 0, \quad i = 1, \dots, n \rightarrow$  一番軽い状態のエネルギー :  $E_{\pi^\pm}^2 = m_\pi^2 + n^2(\pi/L)^2$   
 $L$  (&  $n$ ) を適当に選んで  $E_{\pi^+\pi^+} = m_K$

- アイソスピン変換 (Wigner-Eckart theorem):

$$\langle (\pi\pi)_{I=2}^{I_3=1} | H_{\Delta I=3/2}^{\Delta I_3=1/2} | K^+ \rangle = \frac{3}{2} \frac{\langle (\pi\pi)_{I=2}^{I_3=2} | H_{\Delta I=3/2}^{\Delta I_3=3/2} | K^+ \rangle}{\langle \pi^+\pi^+ |}$$

- ▶ on-shell の  $\pi^+\pi^+$  を取り出して  $A_2$  の計算が可能

# I = 0 の場合

- アイソスピン不変：中性のパイオンを使うしかない
  - 反周期境界条件では  $\pi^0$  の余計なモードを殺せない

- G-parity 境界条件：

$$f(x + L\hat{e}_{x_1, \dots, x_n}) = \hat{G}f(x) = \hat{C}e^{-i\pi\hat{I}_y}f(x) \quad (f: \text{isospin representation})$$

Charge conjugation    180° isospin rotation

$$\hat{G} \begin{pmatrix} u \\ d \end{pmatrix} = \begin{pmatrix} -C\bar{d}^T \\ C\bar{u}^T \end{pmatrix}, \quad \hat{G} \begin{pmatrix} \bar{d} \\ \bar{u} \end{pmatrix} = \begin{pmatrix} -u^T C^{-1} \\ d^T C^{-1} \end{pmatrix}$$

- ▶ パイオンは全部 G-parity odd になる → 余計なモードを殺せる

# $\pi\pi$ 位相差 $\delta_1$ の計算

T. Wang, et al (RBC/UKQCD) in preparation

- Lüscher formula — 位相差  $\delta_1$  と有限体積での状態の運動量  $k$  の関係式
  - ▶ 例: 2ボソン系、1+1次元で空間方向に周期的境界条件、時間方向は無限

周期的境界条件:  $e^{ikL+2i\delta(k)} = 1 \rightarrow \underline{k_n L + 2\delta(k_n) = 2n\pi}$     n: 離散的運動量のラベル

Lüscher formula for this toy case

- 分散関係式:  $E_n = 2\sqrt{m^2 + k_n^2}$
- $\delta_1$  の計算方法
  - ▶ 2点関数から  $E_n$  (次のスライド)  $\rightarrow$  分散関係式から  $k_n$
  - ▶ Lüscher formula 3+1次元 G-parity 版から  $\delta(k_n)$

# $\pi\pi$ 状態のエネルギー

- ユークリッド2点相関関数

$$G_{\pi\pi}(t) = \int d^3x \langle O_{\pi\pi}(t, \vec{x}) O_{\pi\pi}(0, \vec{y})^\dagger \rangle = \sum_n \langle 0 | O_{\pi\pi} | \pi\pi, n \rangle \frac{1}{2E_{\pi\pi, n}} \langle \pi\pi, n | O_{\pi\pi}^\dagger | 0 \rangle e^{-E_{\pi\pi, n} t}$$

- Effective energy

$$E_{\pi\pi}^{\text{eff}}(t) = \ln \frac{G_{\pi\pi}(t)}{G_{\pi\pi}(t+1)} \xrightarrow{\text{large } t} E_{\pi\pi, 0} \quad \text{G-parity 境界条件によりこれが知りたいエネルギー}$$

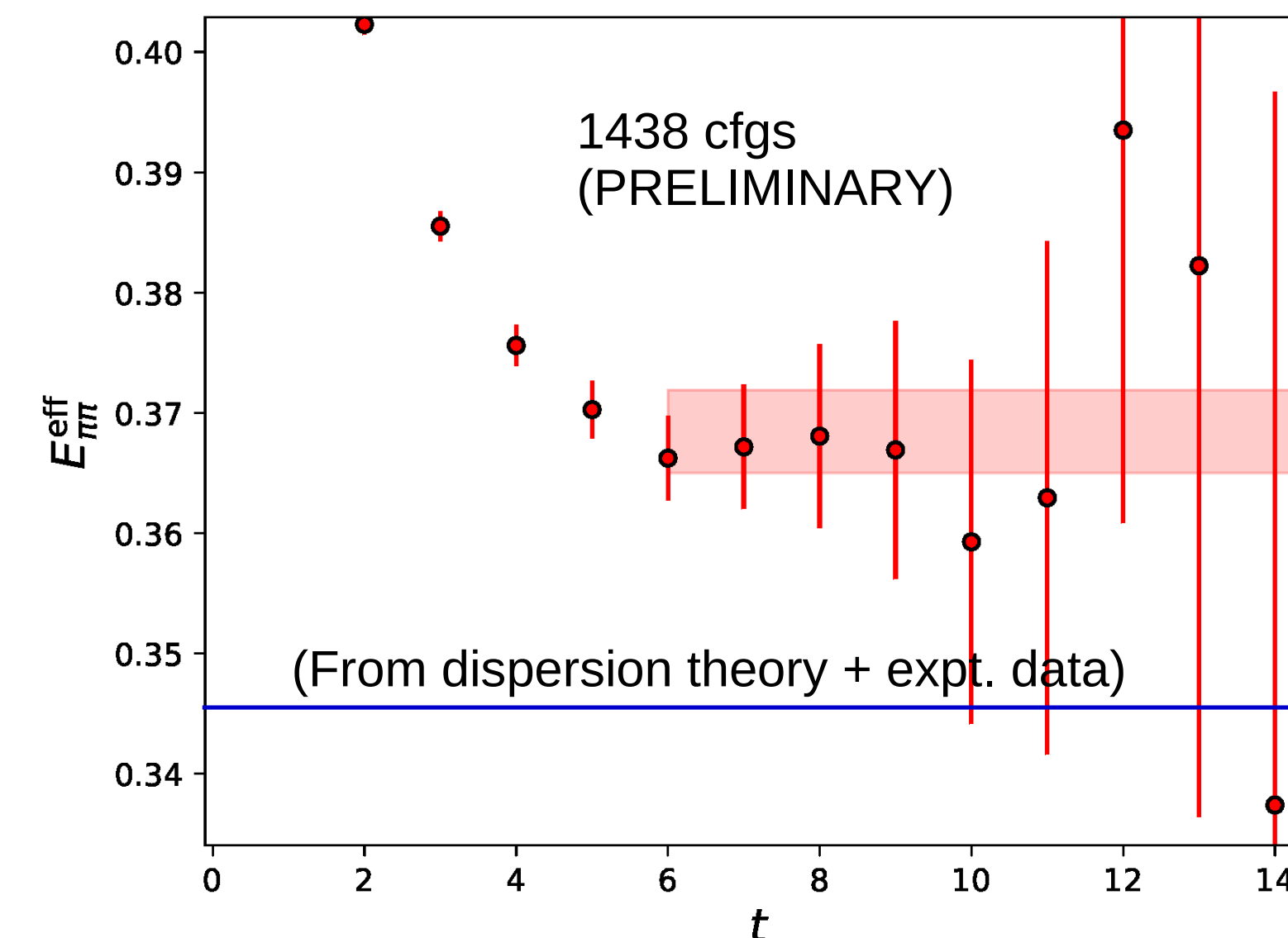
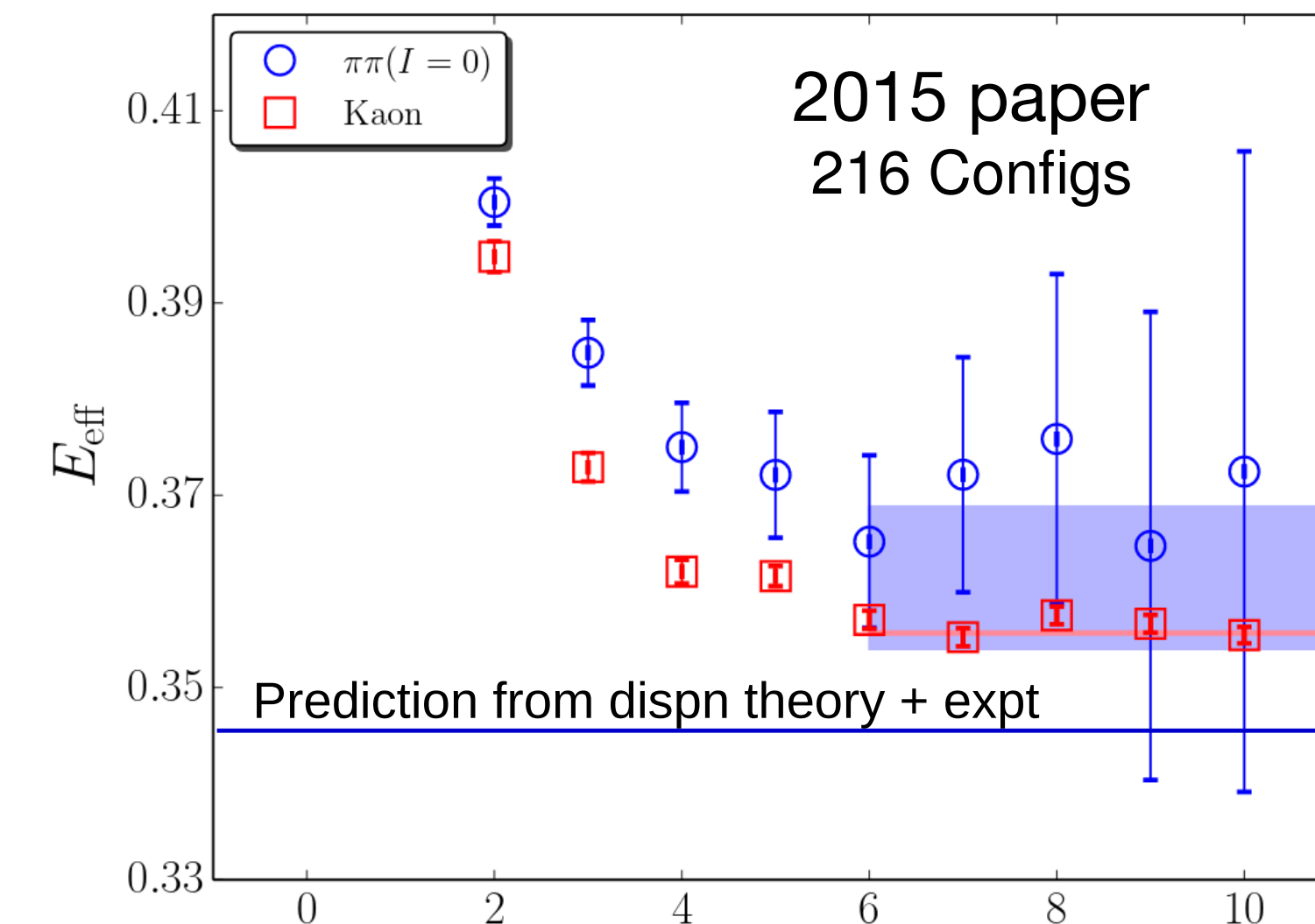
- ▶  $E_{\pi\pi}^{\text{eff}}(t)$  が  $t$  に寄らなくなったら  $E_{\pi\pi, 0}$  に行き着いたと考えられる

でも、実際の計算では判断が難しい (次のスライド)

# The “ $\pi\pi$ puzzle”

- 格子計算と現象論で合わない
  - ▶  $\delta_0^{2015} = 23.8(4.9)(2.2)^\circ$ ,  $\delta_0^{2020'} = 19.1(2.5)(1.2)^\circ$
  - ▶  $\delta_0^{\text{ph+exp}} = 36^\circ$
- 一応、第一励起状態も考慮して解析している
  - ▶ 2種類のフィットで同じ結果  

$$G(t) = z_0 e^{-E_0 t} \quad \& \quad G(t) = z_0 e^{-E_0 t} + z_1 e^{-E_1 t}$$
- なぜ合わない?
  - ▶ 結論: 励起状態の取り扱いがアマかった



# 解決法

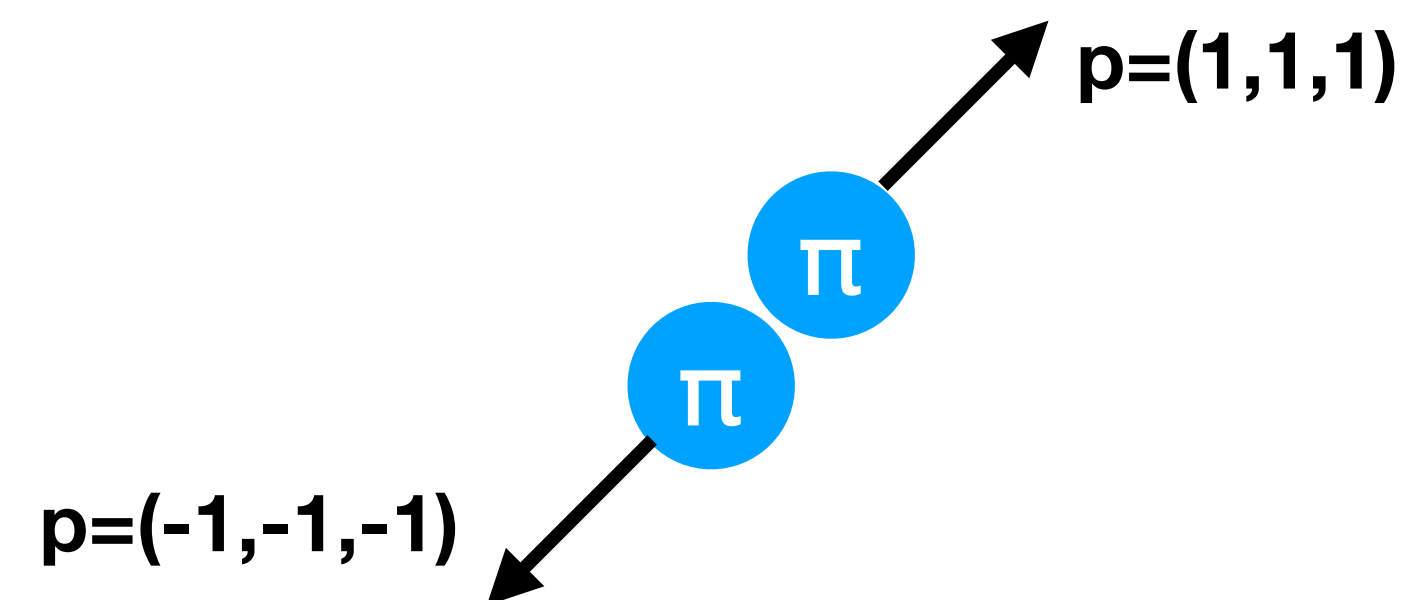
- $\pi\pi$  の演算子を複数使う

- ▶ 2015年

$$O_{\pi\pi} = \pi\pi(1, 1, 1)$$

- ▶ 2020年の追加分

$$\pi\pi(3, 1, 1), \quad \sigma = \frac{1}{\sqrt{2}}(\bar{u}u + \bar{d}d)$$



- 2点関数行列

$$G_{ij}(t) = \langle O_i(t) O_j(0)^\dagger \rangle = \sum_n A_{i,n} A_{j,n}^\dagger e^{-E_n t}$$

- ▶ 複数の状態を考慮したフィットの情報が増えている
  - ▶ あるいは適当に線形結合して励起状態 2つを消せる

# 励起状態の分離

フィット結果： $E_{\pi\pi}^{\text{lat}} = 479.5(1.4) \text{ MeV}$

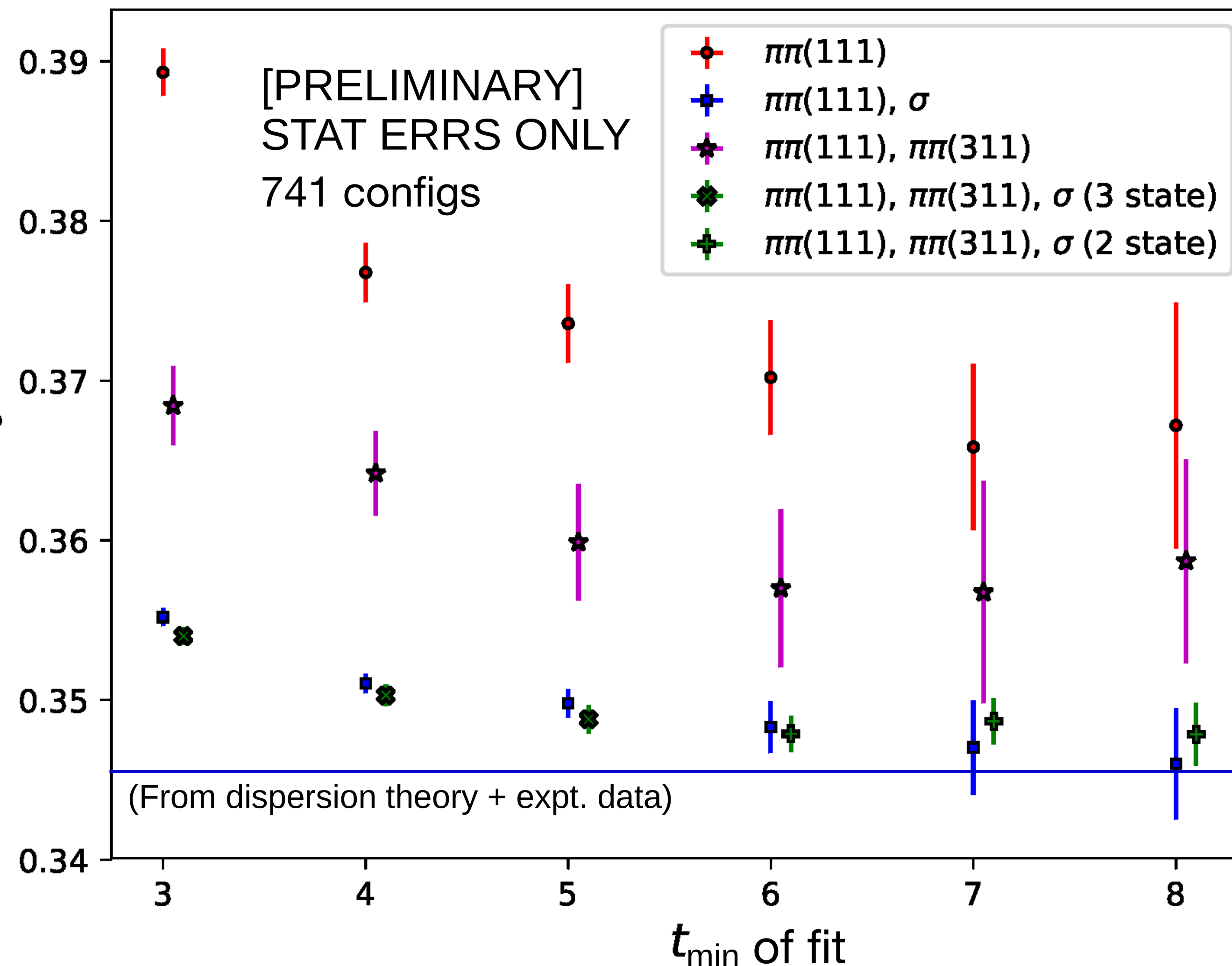
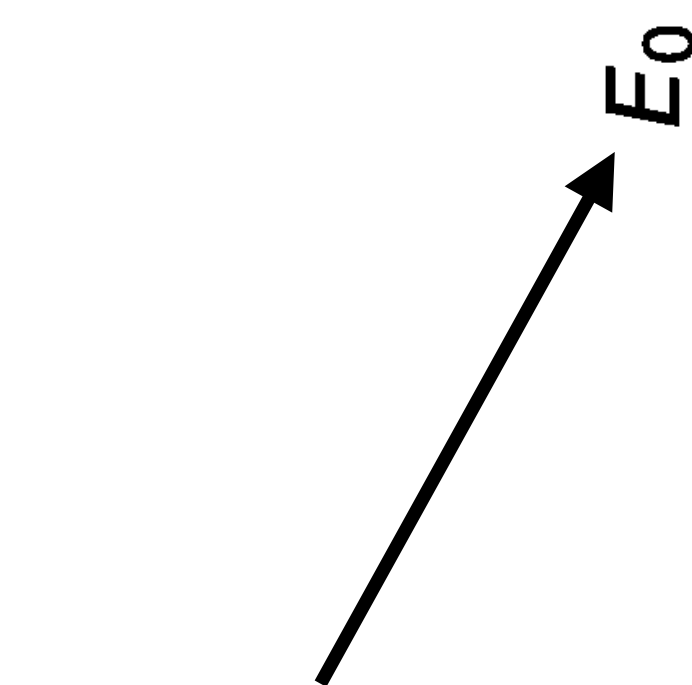
$$\delta_0^{(1,1,1)} = 19.1(2.5)(1.2)^\circ$$



$$\delta_0^{\text{lat}}(E_{\pi\pi}^{\text{lat}}) = 32.3(2.1)^\circ$$

$$\delta_0^{\text{ph+exp}}(E_{\pi\pi}^{\text{lat}}) = 35.9^\circ$$

フィット結果



# $I=0 \langle \pi\pi | Q_i | K \rangle$ from 3pt functions

- Revisiting 3pt functions

$$G_i^{\text{sink}}(t - t_K, t_{\text{sink}} - t) = \int d^3x_{\text{sink}} d^3x_K \langle O_{\text{sink}}(t_{\text{sink}}, \vec{x}_{\text{sink}}) Q_i(t, \vec{0}) O_K(t_K, \vec{x}_K)^\dagger \rangle$$

$$= \sum_{m,n} \underbrace{\langle 0 | O_{\text{sink}} | \pi\pi, m \rangle}_{A_{\text{sink}}^m} \frac{1}{2E_{\pi\pi,m}} \underbrace{\langle \pi\pi, m | H_W | K, n \rangle}_{M_i^{mn}} \frac{1}{2E_{K,n}} \underbrace{\langle K, n | O_K^\dagger | 0 \rangle}_{A_K^n} e^{-E_{\pi\pi,m}(t_{\text{sink}}-t)} e^{-m_{K,n}(t-t_K)}$$

- Effective matrix elements

$$M_i^{\text{eff,sink}}(t - t_K, t_{\text{sink}} - t) = G_i^{\text{sink}}(t - t_K, t_{\text{sink}} - t) \left( \underbrace{A_{\text{sink}}^0}_{\text{from } \pi\pi \text{ 2pt functions}} \underbrace{A_K^{0\dagger}}_{\text{from kaon 2pt functions}} e^{-\underbrace{E_{\pi\pi,0}}_{\text{from } \pi\pi \text{ 2pt functions}}(t_{\text{sink}}-t)} e^{-\underbrace{m_{K,0}}_{\text{from kaon 2pt functions}}(t-t_K)} \right)^{-1}$$

$$= \underbrace{M_i^{00} + \sum_m \frac{A_{\text{sink}}^m}{A_{\text{sink}}^0} M_i^{m0} e^{-(E_{\pi\pi,m} - E_{\pi\pi,0})(t_{\text{sink}}-t)}}_{\rightarrow 0 \text{ at large } t-t_K \text{ \& } t_{\text{sink}}-t} + \text{kaon excited-state contributions}$$



# $K \rightarrow \pi\pi$ 行列要素の計算

- 3点関数

$$G_i^\alpha(t - t_K, t_{\pi\pi} - t) = \langle O_{\pi\pi}^\alpha(t_{\pi\pi}) Q_i(t) O_K(t_K)^\dagger \rangle$$

- ▶ 十分に大きな  $t - t_K, t_{\pi\pi} - t$  で欲しい行列要素からの寄与（基底状態）でサチる

- Effective matrix elements

- ▶  $M_i^{\text{eff},\alpha}(t - t_K, t_{\pi\pi} - t)$  （定義は Slack）
- ▶ 励起状態による寄与の有無を調べるツール
- ▶ 基底状態でサチったところでは欲しい行列要素で一定になる

# Effective MEs

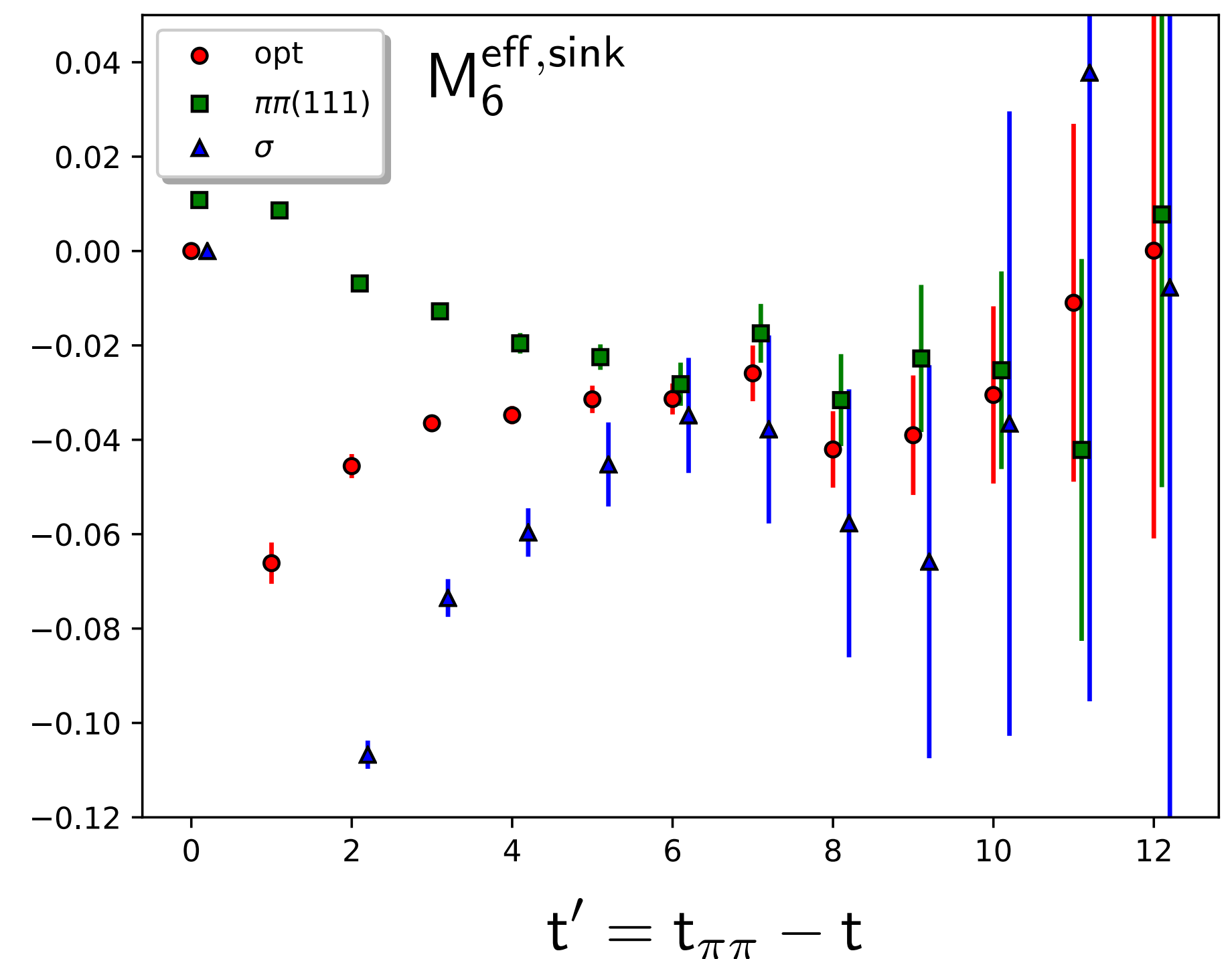
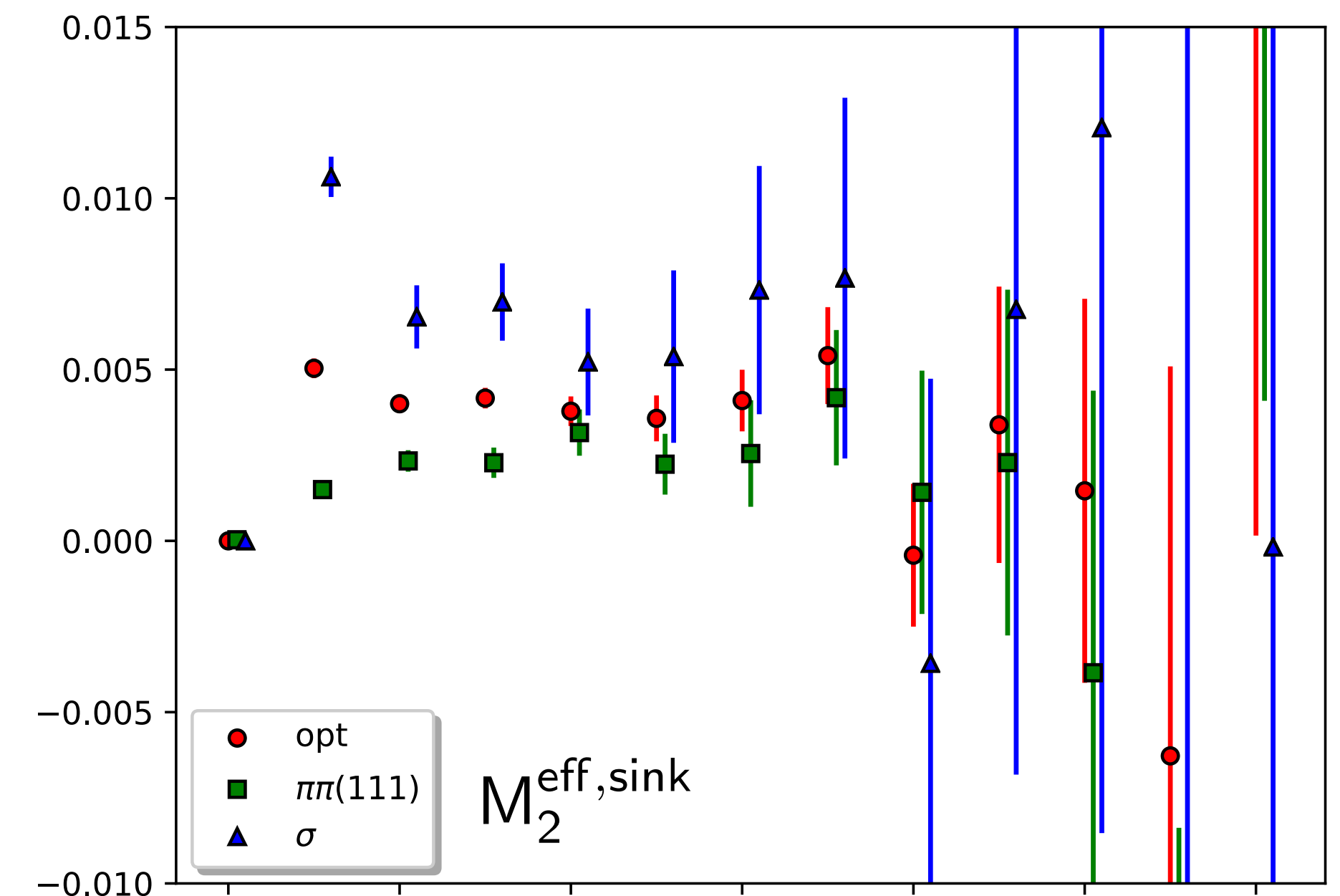
- 3種類の  $\pi\pi$  演算子

$$O_{\pi\pi}^{\alpha} = O_{\pi\pi(1,1,1)}, O_{\sigma}, O_{\text{opt}}$$

- $O_{\text{opt}}$ :  $\pi\pi(1,1,1)$  &  $\sigma$  の適当な線形結合

$$O_{\text{opt}} = r_1 O_{\pi\pi(1,1,1)} + r_2 O_{\sigma}$$

- ▶ 第一励起状態を殺す組み合わせ

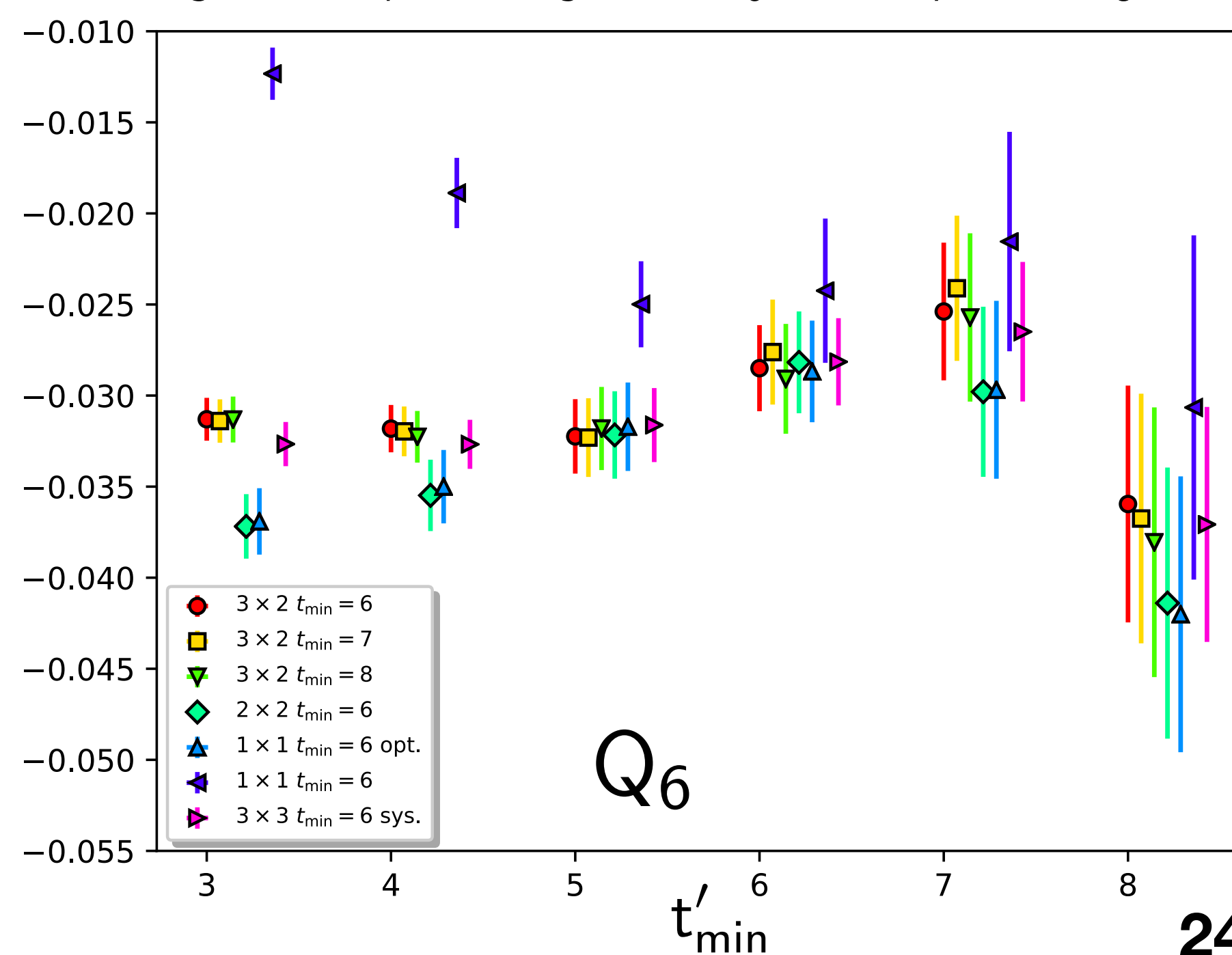
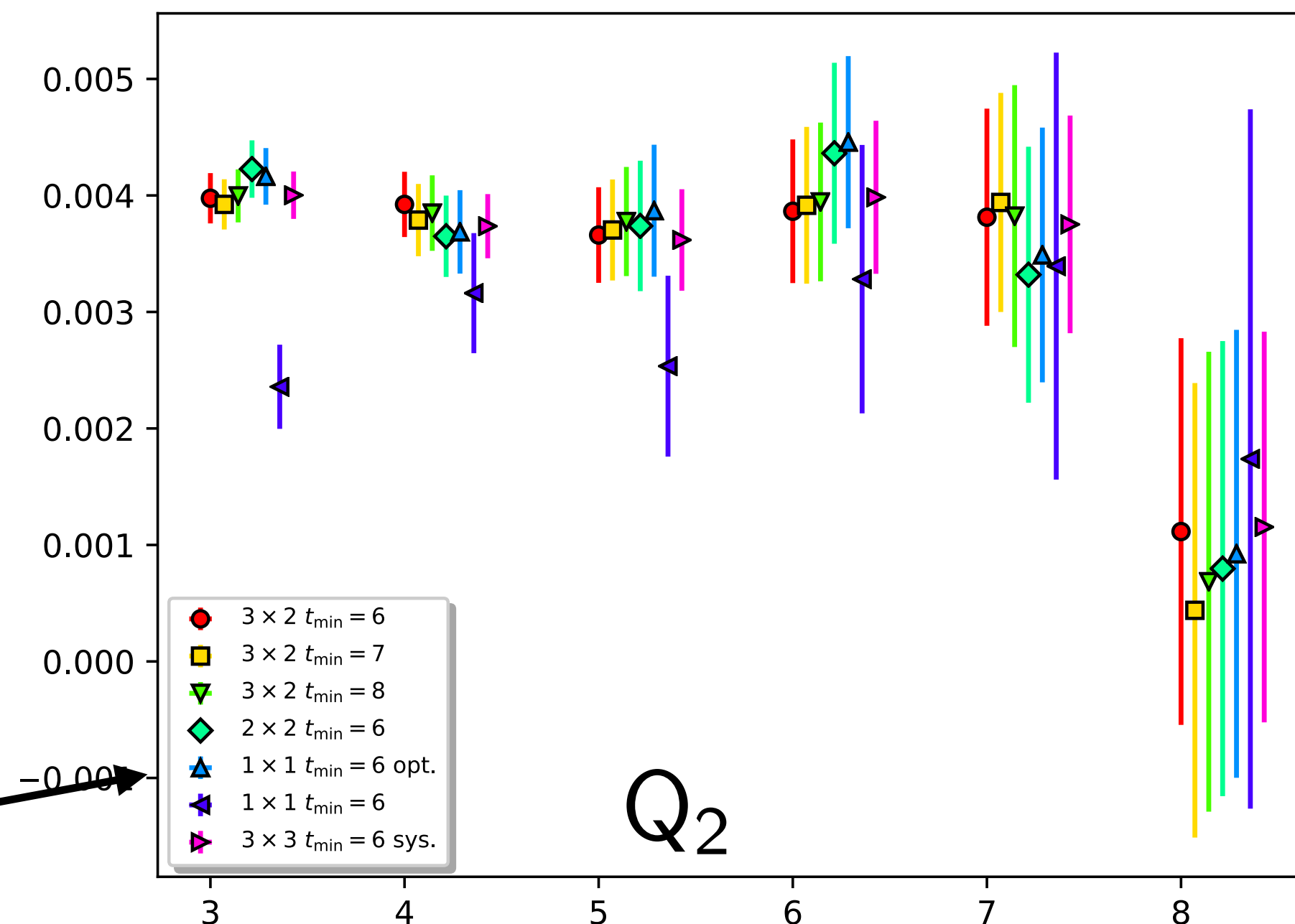


# フィット結果

- 色々なフィット
  - ▶  $t'_{\min}$ : min of ( $t_{\text{sink}} - t$ ) [3-8]
  - ▶  $t_{\min}$ : min of ( $t - t_K$ ) [6-8]
  - ▶ (# of operators) x (# of states considered)

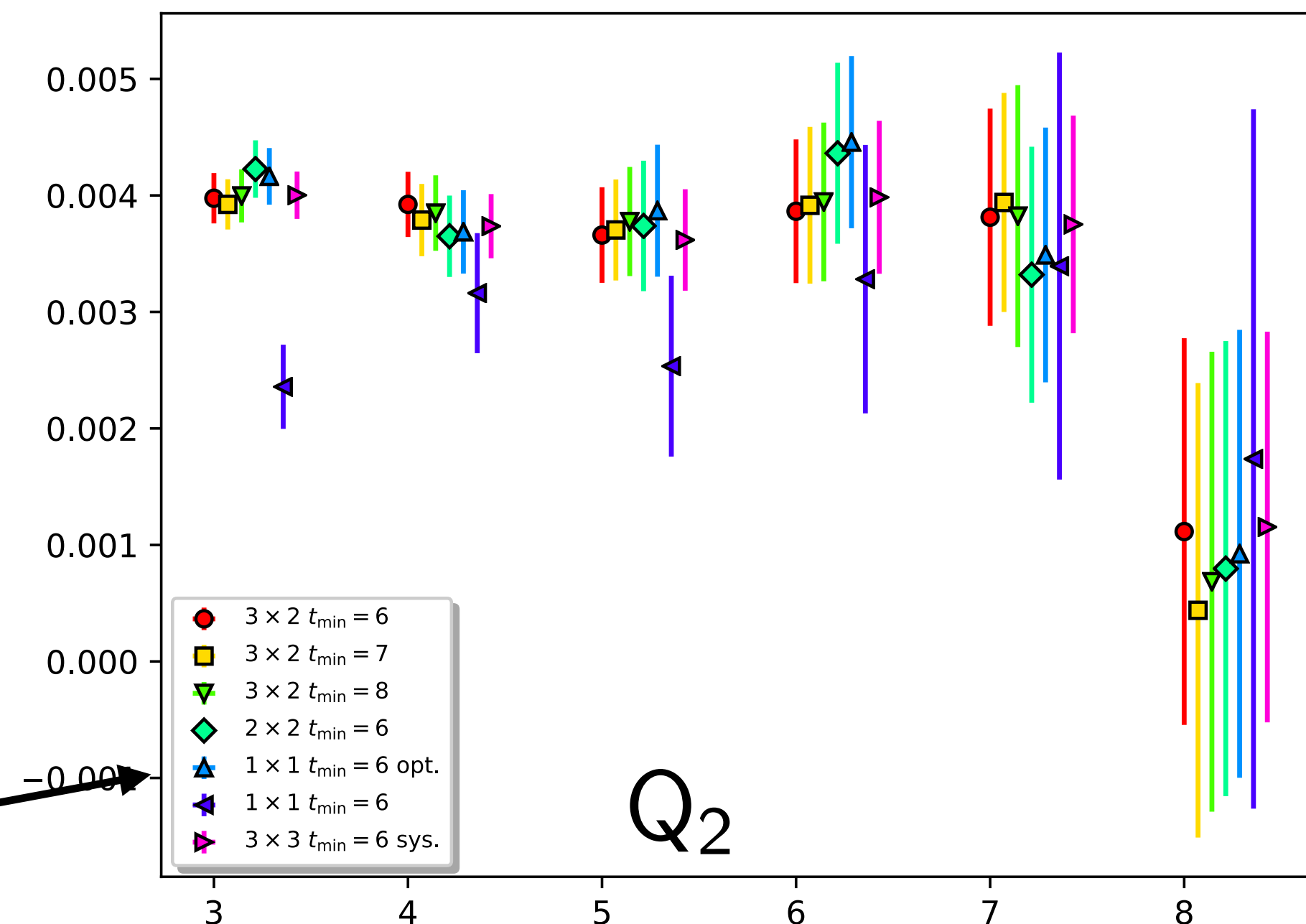
- $\pi\pi(311)$  の演算子は系統誤差の評価に利用

- 2015年は励起状態の寄与が過小評価されていた



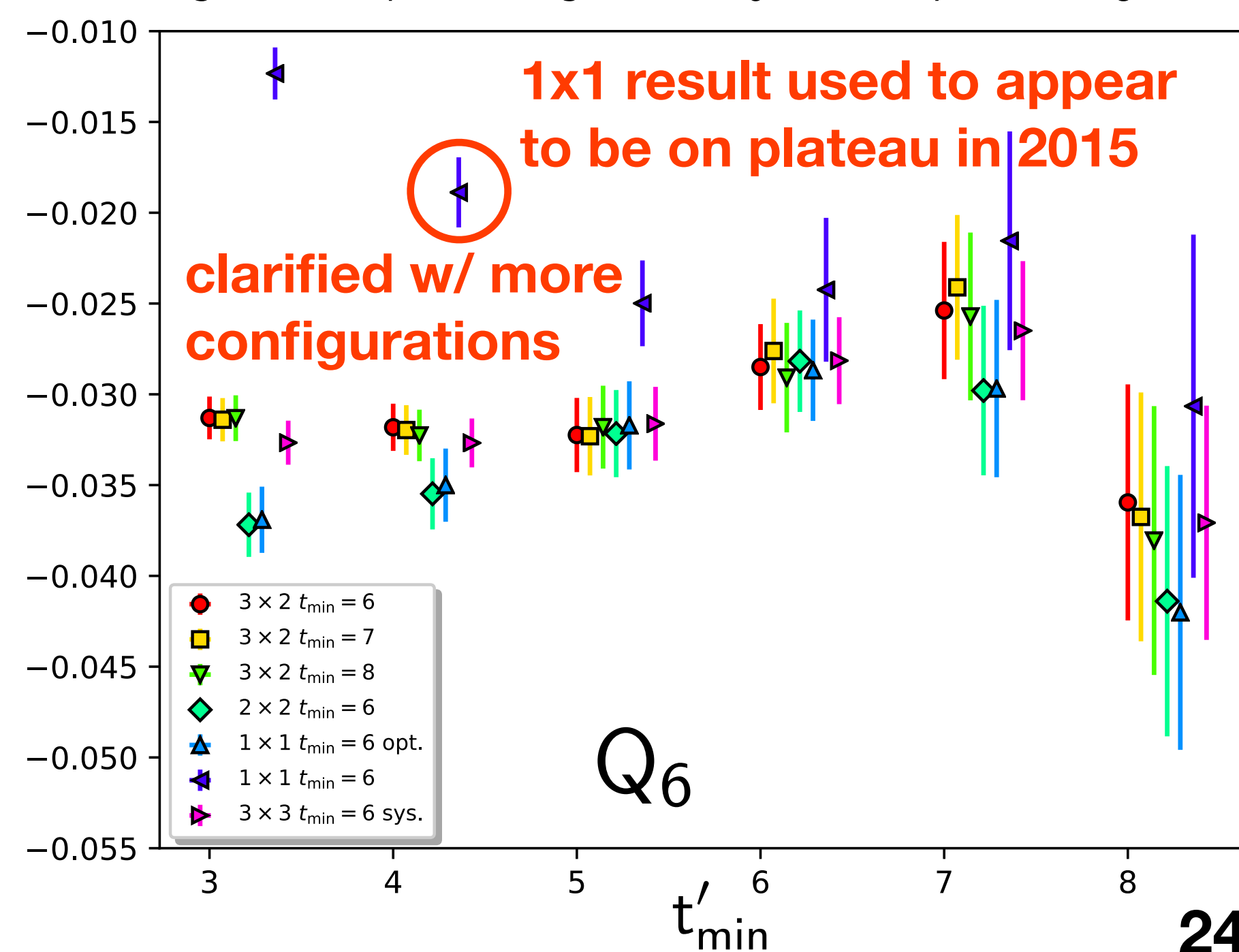
# フィット結果

- 色々なフィット
  - ▶  $t'_{\min}$ : min of  $(t_{\text{sink}} - t)$  [3-8]
  - ▶  $t_{\min}$ : min of  $(t - t_K)$  [6-8]
  - ▶ (# of operators) x (# of states considered)



- $\pi\pi(311)$  の演算子は系統誤差の評価に利用

- 2015年は励起状態の寄与が過小評価されていた



# $\epsilon'$ の計算方法

- Isospin-limit formula

$$\text{Re} \left( \frac{\epsilon'}{\epsilon} \right) = \text{Re} \left\{ \frac{i\omega e^{i(\delta_2 - \delta_0)}}{\sqrt{2}\epsilon} \left[ \frac{\text{Im} A_2}{\text{Re} A_2} - \frac{\text{Im} A_0}{\text{Re} A_0} \right] \right\} \quad (\omega = \text{Re} A_2 / \text{Re} A_0)$$

✓  $\pi\pi$  phase shifts

Lellouch-Lüscher finite volume correction (skipped)

Renormalization matrix

$$A_I = \underbrace{F}_{\text{LQCD}} \frac{G_F}{2} V_{us}^* V_{ud} \sum_{i,j} \underbrace{[z_i(\mu) + \tau y_i(\mu)]}_{\text{Wilson coefs. pQCD}} \underbrace{Z_{ij}(\mu)}_{\text{LQCD (+pQCD)}} \underbrace{\langle (\pi\pi)_I | Q_j^{\text{lat}} | K \rangle}_{\text{LQCD}} \quad \checkmark$$

- G-parity 境界条件で on-shell 状態の扱いを簡単化
- $\pi\pi$  の励起状態が前よりうまく除去できた

残りは繰り込みとウィルソン係数

# 内容

- ☑ イントロ
- ☑  $K \rightarrow \pi\pi$  行列要素
- 非摂動繰り込みと結果
  - ▶ RI/SMOM スキームと window problem
  - ▶ ステップスケーリング
  - ▶ 最終結果
- 今後の課題

# Power divergence

- Quadratic divergence ( $\sim a^{-2}$ ) appears in MEs from



- due to mixing 4-quark operators with  $O(m/a^2)\bar{s}\gamma_5 d$
- Remove by subtraction

$$Q_i \rightarrow Q'_i = Q_i - \alpha_i \bar{s}\gamma_5 d \quad (\text{mixing w/ parity-even operator } \bar{s}d \text{ is invalid})$$

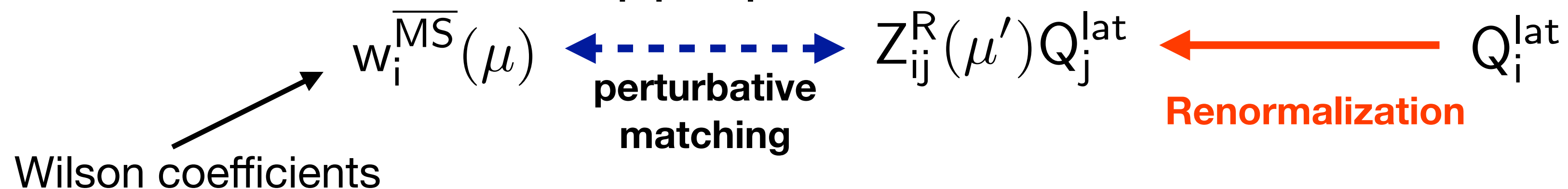
$$\text{Condition: } \langle Q'_i(t_0)K(0) \rangle = 0 \text{ at specific } t_0$$

$$\langle \text{Diagram} \rangle = 0$$

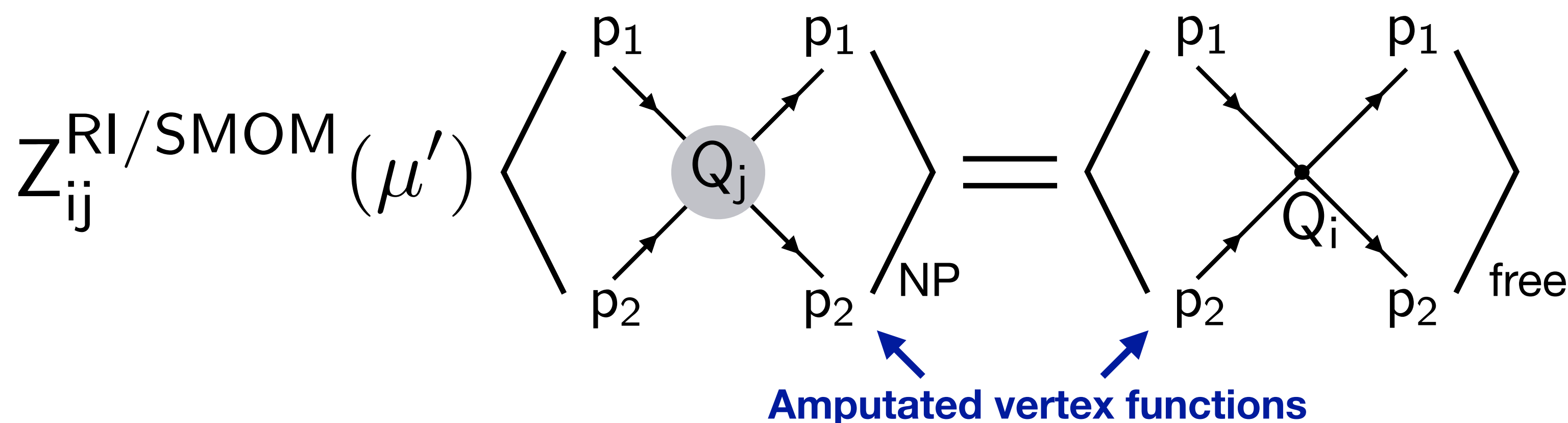
**K  $\rightarrow$   $\pi\pi$  MEs shown earlier are the results after the subtraction**

# Renormalization

- ベキの発散を除いた後、 $\log$  の発散  $\ln a^2$  を乗法的に除去
- To construct appropriate Hamiltonian



- RI/SMOM スキーム (よく使われる)

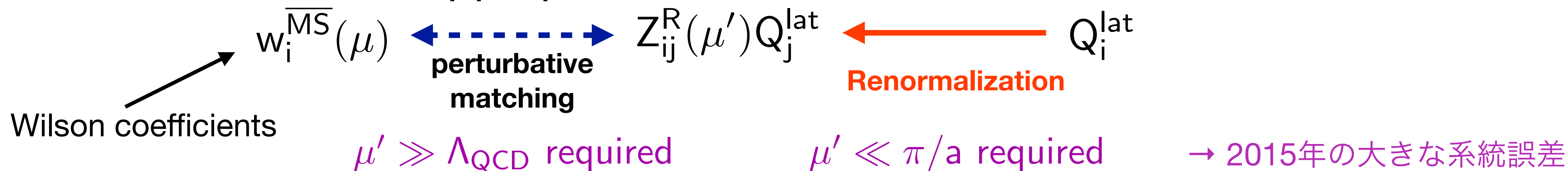


$$\mu'^2 = p_1^2 = p_2^2 = (p_1 - p_2)^2$$

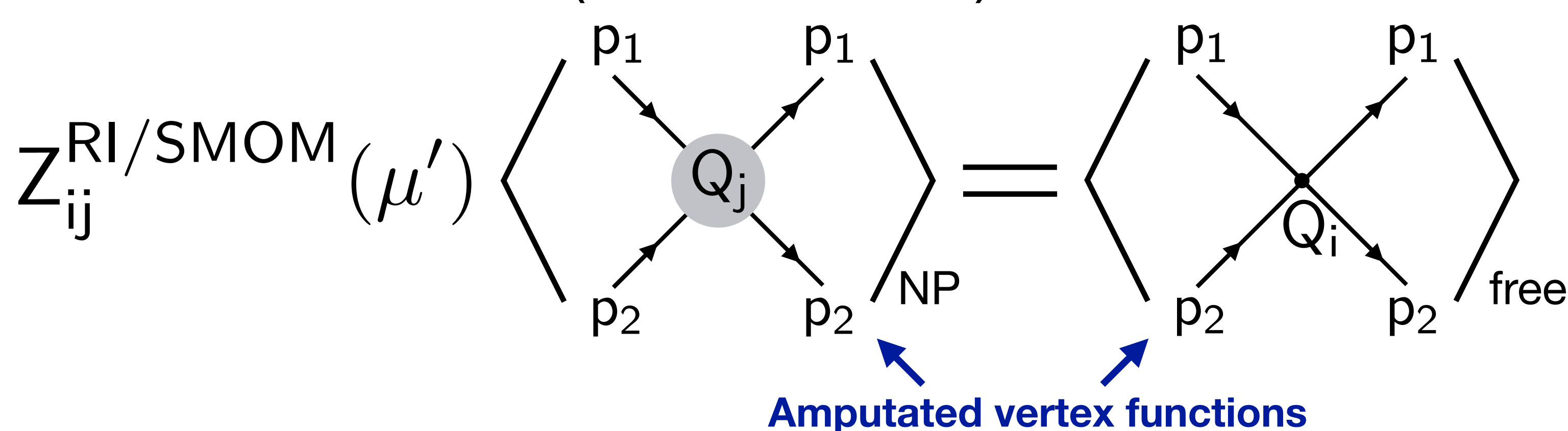


# Renormalization

- ベキの発散を除いた後、 $\log$  の発散  $\ln a^2$  を乗法的に除去
- To construct appropriate Hamiltonian



- RI/SMOM スキーム (よく使われる)



$$\mu'^2 = p_1^2 = p_2^2 = (p_1 - p_2)^2$$

# ステップスケーリング

- 非摂動的に繰り込みスケールを持ち上げ

fine lattice ensemble created ( $\mu_{\text{high}} \ll \pi/a_{\text{fine}}$ )

$$Z(\mu_{\text{high}}, a_{\text{coarse}}) = \left( \frac{Z(\mu_{\text{high}}, a_{\text{fine}})}{Z(\mu_{\text{low}}, a_{\text{fine}})} \right) \frac{Z(\mu_{\text{low}}, a_{\text{coarse}})}{\text{used in 2015}}$$

$$a_{\text{fine}}^{-1} = 3.148(17) \text{ GeV}$$

$$a_{\text{coarse}}^{-1} = 1.378(7) \text{ GeV}$$

$$\mu_{\text{high}} \simeq 4.0 \text{ GeV}$$

$$\mu_{\text{low}} \simeq 1.5 \text{ GeV}$$

# $\epsilon'$ 最終結果

$$\text{Re}(\epsilon'/\epsilon)_{\text{SM},2015} = 1.38(5.15)_{\text{stat}}(4.59)_{\text{sys}} \times 10^{-4}$$

$$\begin{aligned} \text{Re}\left(\frac{\epsilon'}{\epsilon}\right)_{\text{SM}} &= \text{Re}\left\{\frac{i\omega e^{i(\delta_2-\delta_0)}}{\sqrt{2}\epsilon}\left[\frac{\text{Im} A_2}{\text{Re} A_2} - \frac{\text{Im} A_0}{\text{Re} A_0}\right]\right\} \\ &= 21.7(2.6)_{\text{stat}}(6.2)_{\text{sys}}(5.0)_{\text{EM/IB}} \times 10^{-4} \end{aligned}$$



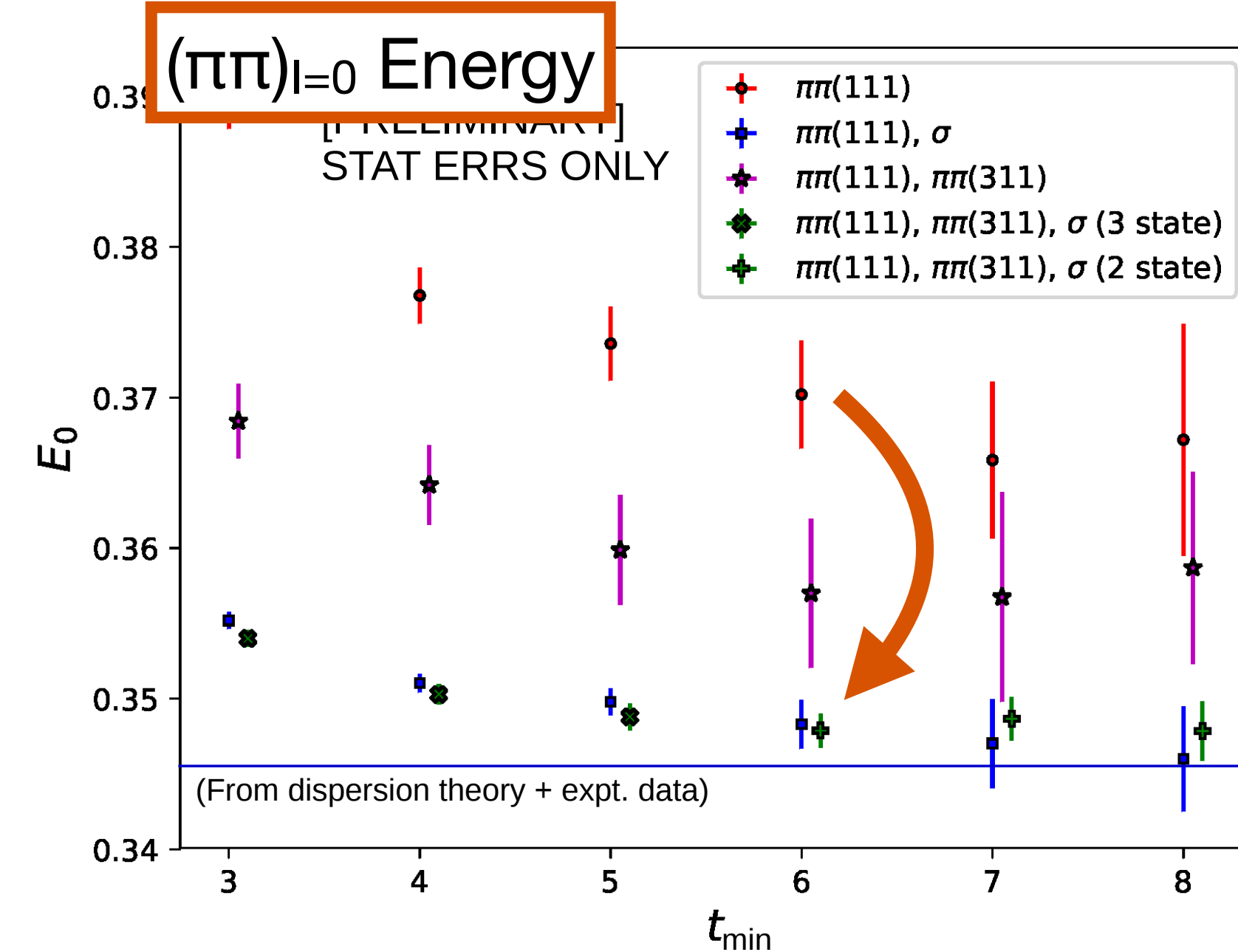
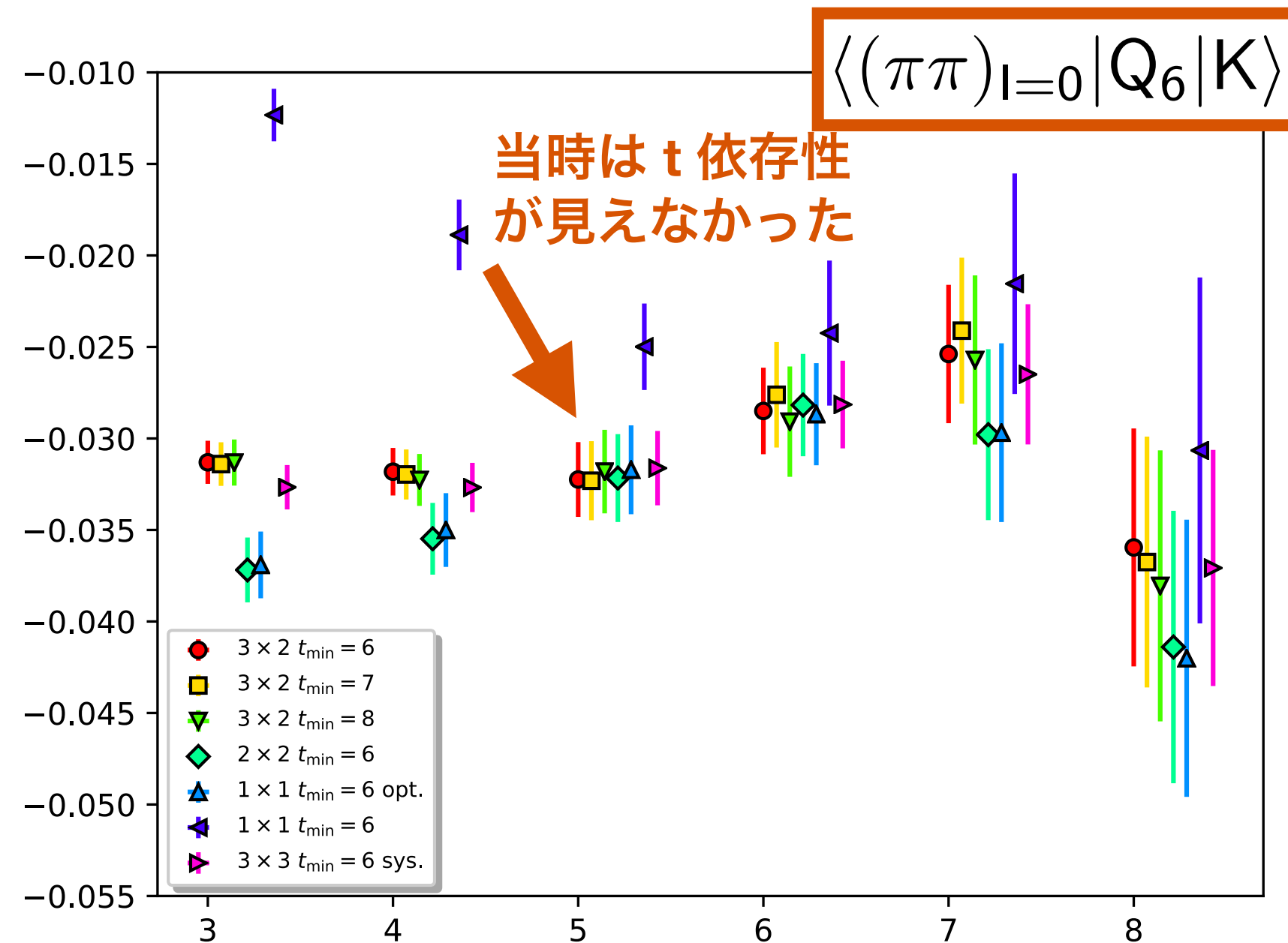
$$\text{Re}(\epsilon'/\epsilon)_{\text{exp}} = 16.6(2.3) \times 10^{-4}$$

★  $\Delta I = 1/2$  則も再現

$$(\text{Re} A_0/\text{Re} A_2)_{\text{SM}} = 19.9(2.3)(4.4) \text{ 🤝 } (\text{Re} A_0/\text{Re} A_2)_{\text{exp}} = 22.45(6)$$

# 結果が変わったことについて

- 2015 年は世界初で、とりあえず結果を出そうってノリだった
  - ▶  $\pi\pi$  演算子 1 つだけで励起状態の寄与の概算した気になってたのがマズかった



- 今回は励起状態の寄与を徹底的に調べた

# Breakdown of sys. errors on $A_0$

Description	2015 Error	2020 Error
Operator normalisation	15%	5% <sup>1</sup>
Wilson coefficients	12%	unchanged
Finite lattice spacing	12%	unchanged
Lellouch - Lüscher factor	11%	1.5% <sup>2</sup>
Residual FV corrections	7%	unchanged
Parametric errors	5%	6% <sup>3</sup>
Excited state contamination	5%	negligible <sup>4</sup>
Unphysical kinematics	3%	5%
<b>Total</b>	<b>27%</b>	<b>21%</b>

- <sup>1</sup> As a result of step scaling from  $\mu = 1.53 \text{ GeV} \rightarrow 4.00 \text{ GeV}$ .
- <sup>2</sup> Better control of  $\pi\pi$  system due to additional operators.
- <sup>3</sup> Largest uncertainty is due to  $\tau \sim 5\%$ .
- <sup>4</sup> Significantly underestimated in 2015.

# Breakdown of sys. errors on $A_0$

Description	2015 Error	2020 Error
Operator normalisation	15%	5% <sup>1</sup>
<u>Wilson coefficients</u>	12%	unchanged
<u>Finite lattice spacing</u>	12%	unchanged
Lellouch - Lüscher factor	11%	1.5% <sup>2</sup>
Residual FV corrections	7%	unchanged
Parametric errors	5%	6% <sup>3</sup>
Excited state contamination	5%	negligible <sup>4</sup>
Unphysical kinematics	3%	5%
<b>Total</b>	<b>27%</b>	<b>21%</b>

NP treatment on going  
(next final topic)

finer lattice & continuum limit  
(not planned)

- <sup>1</sup> As a result of step scaling from  $\mu = 1.53 \text{ GeV} \rightarrow 4.00 \text{ GeV}$ .
- <sup>2</sup> Better control of  $\pi\pi$  system due to additional operators.
- <sup>3</sup> Largest uncertainty is due to  $\tau \sim 5\%$ .
- <sup>4</sup> Significantly underestimated in 2015.

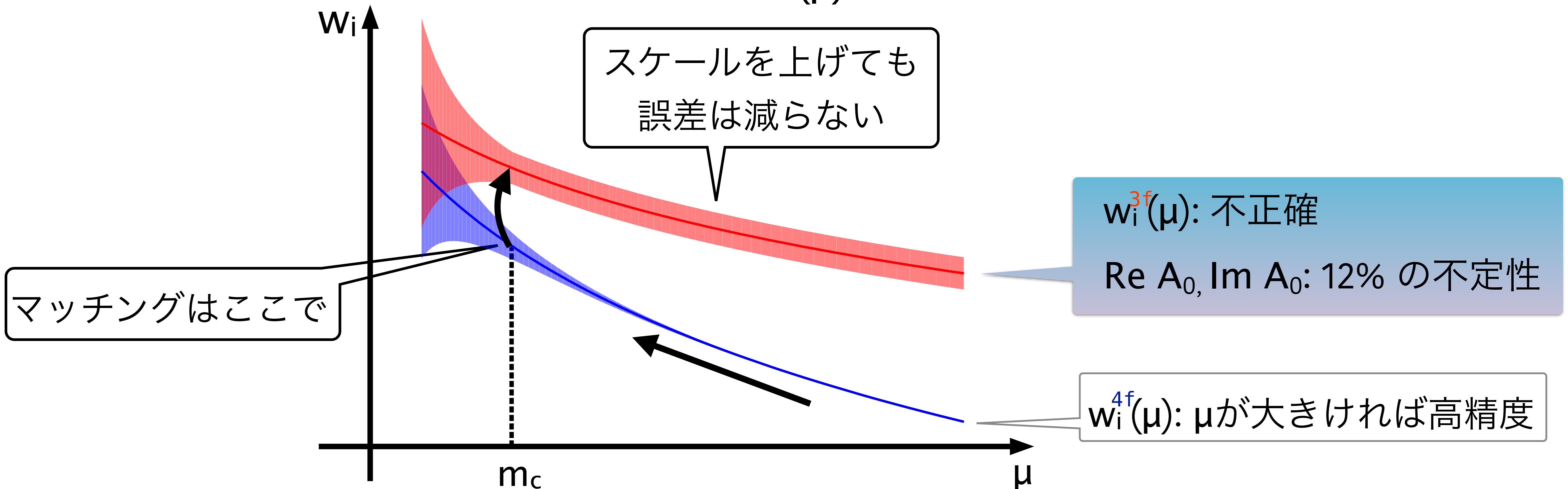
# 内容

- ☑ イントロ
- ☑  $K \rightarrow \pi\pi$  行列要素
- ☑ 非摂動繰り込みと結果
- 今後の課題
  - ▶ ウィルソン係数の非摂動マッチング b/w 3/4フレーバー理論
  - ▶ 周期的境界条件で再チャレンジ
  - ▶ アイソスピンの破れとQED補正

# ウィルソン係数のマッチング

$$\langle f|H_W|i\rangle = \sum_i \underbrace{w_i^{3f}(\mu)}_{\text{pQCD}} \underbrace{\langle f|O_i^{3f}(\mu)|i\rangle}_{\text{LQCD}}$$

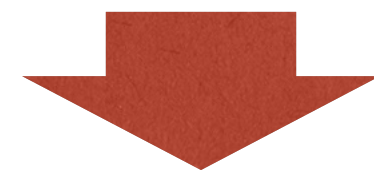
摂動QCDでの  $w_i^{3f}(\mu)$  の計算方法



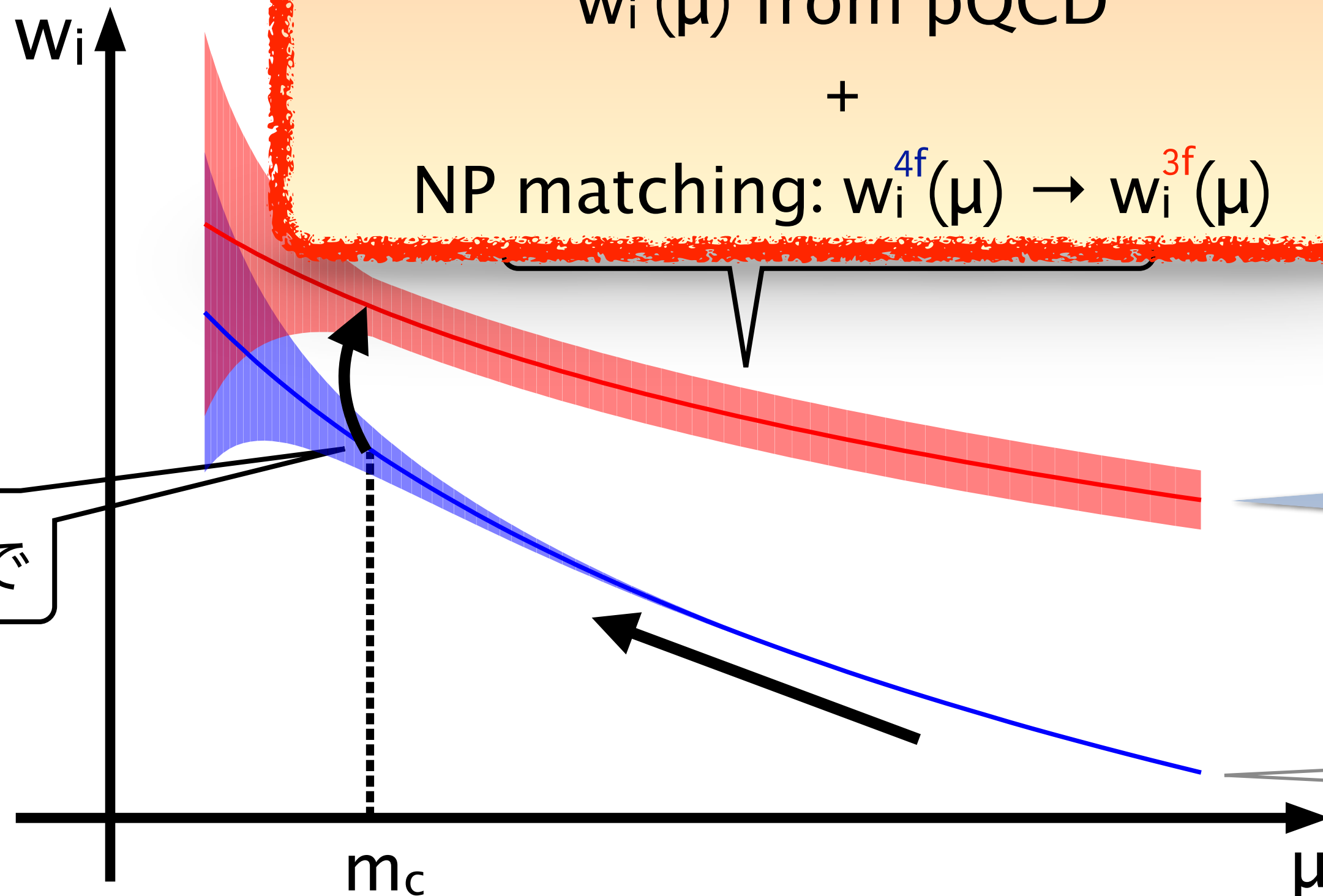


# ウィルソン係数のマッチング

$$\langle f|H_W|i\rangle = \sum_i \underbrace{w_i^{3f}(\mu)}_{\text{pQCD}} \underbrace{\langle f|O_i^{3f}(\mu)|i\rangle}_{\text{LQCD}}$$



$w_i^{4f}(\mu)$  from pQCD  
 +  
 NP matching:  $w_i^{4f}(\mu) \rightarrow w_i^{3f}(\mu)$



マッチングはここで

$w_i^{3f}(\mu)$ : 不正確  
 Re  $A_0$ , Im  $A_0$ : 12% の不定性

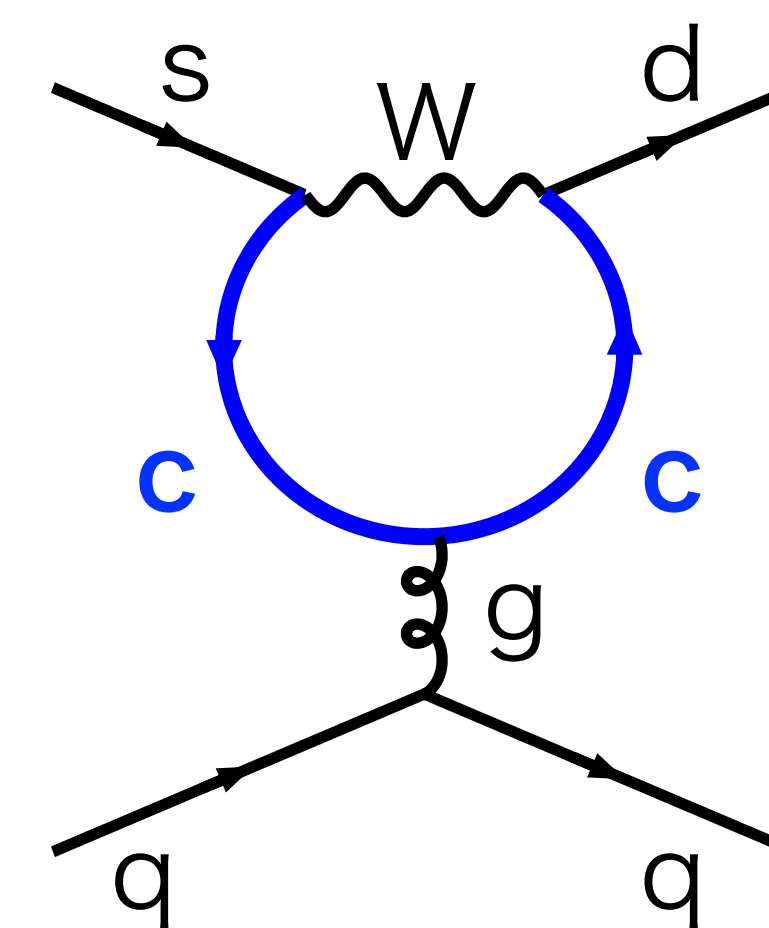
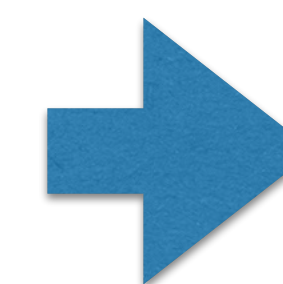
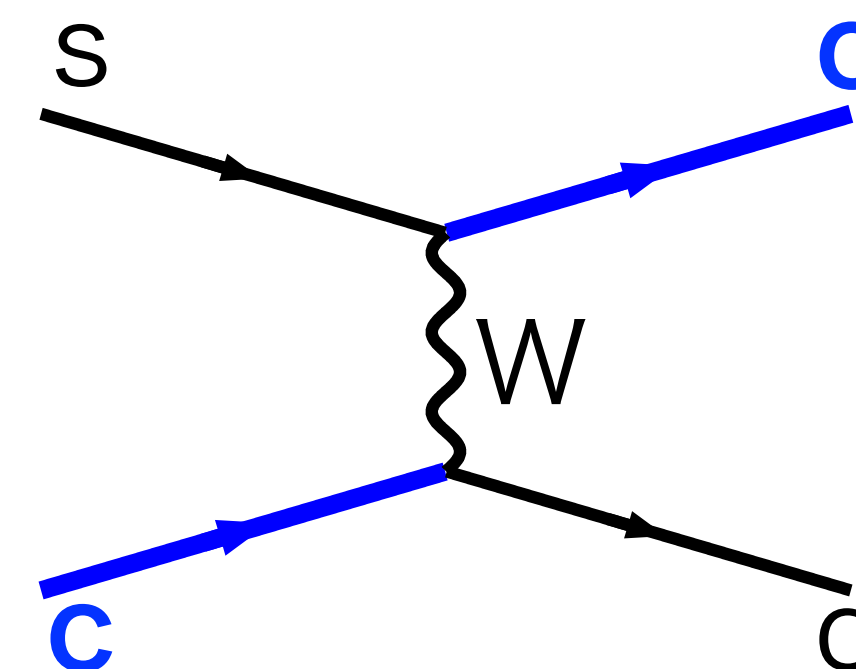
$w_i^{4f}(\mu)$ :  $\mu$ が大きければ高精度

# $W_i^{3f} \neq W_i^{4f} ?$

- シーチャーム  $\rightarrow O(\alpha_s^2)$ , 今回は無視

- 今回の  $O_i^{4f}$  はチャームを含む

- ▶  $O_i^{3f}$  ではチャームがない代わりにウィルソン係数にその寄与が入る



- なぜ格子計算では  $O_i^{3f}$  を使った？

- ▶  $32^3 \times 64, a^{-1} \approx 1.38 \text{ GeV}$
- ▶ この粗い格子上にはチャームを乗せれない
- ▶ 物理点のパイオン質量とチャームの同時実現には  $80^3 \times 160$  くらいの格子が必要 (もうすぐ)

# 方法

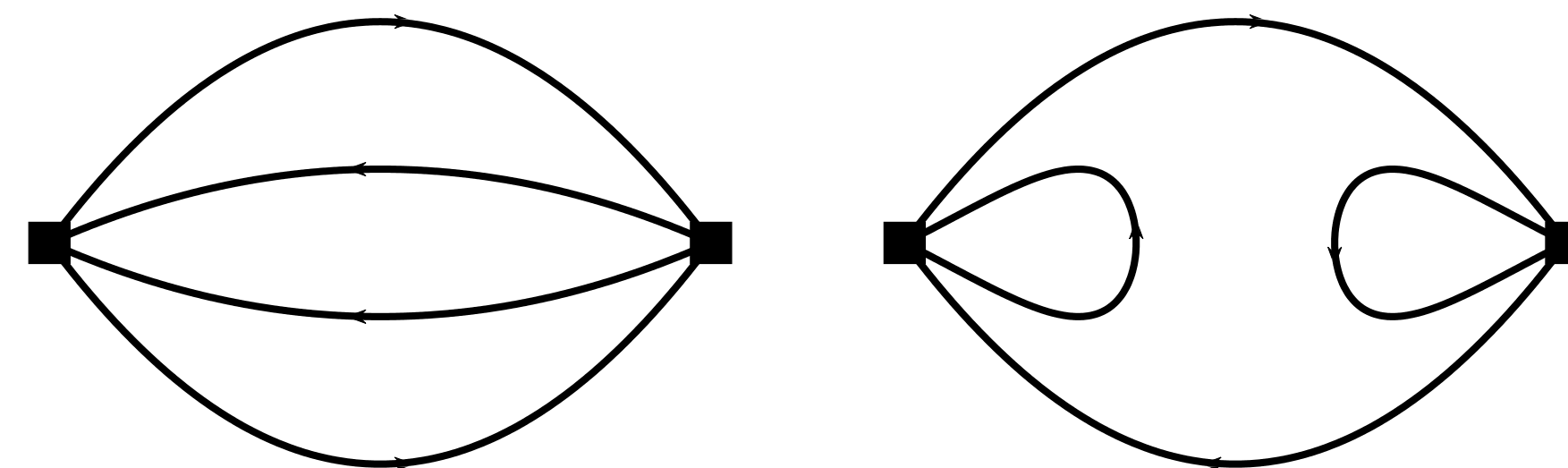
- マッチング条件

- ▶ マッチング行列： $O_i^{4f} \rightarrow \sum_j M_{ij} O_j^{3f}$ , i.e.  $\langle f | O_i^{4f} | i \rangle \rightarrow \sum_j M_{ij} \langle f | O_j^{3f} | i \rangle$

- ▶ 有効ハミルトニアン： $H_W = \sum_{i,j} \frac{w_i^{4f} M_{ij} O_j^{3f}}{= w_i^{3f}}$

- ▶ 長距離相関関数にマッチング条件

$$\frac{\langle O_i^{4f}(x) O_j^{3f}(y)^\dagger \rangle}{G_{ij}^{4-3}(x-y)} = \sum_k M_{ik} \frac{\langle O_k^{3f}(x) O_j^{3f}(y)^\dagger \rangle}{G_{ij}^{3-3}(x-y)}$$



# Operator basis for $\Delta S=1$

Type	$Q_i$
current-current	$Q_1 = (\bar{s}_\alpha d_\alpha)_L (\bar{u}_\beta u_\beta)_L$ $Q_2 = (\bar{s}_\alpha d_\beta)_L (\bar{u}_\beta u_\alpha)_L$
QCD penguin	$Q_3 = (\bar{s}_\alpha d_\alpha)_L \sum_q^{3f} (\bar{q}_\beta q_\beta)_L$ $Q_4 = (\bar{s}_\alpha d_\beta)_L \sum_q^{3f} (\bar{q}_\beta q_\alpha)_L$ $Q_5 = (\bar{s}_\alpha d_\alpha)_L \sum_q^{3f} (\bar{q}_\beta q_\beta)_R$ $Q_6 = (\bar{s}_\alpha d_\beta)_L \sum_q^{3f} (\bar{q}_\beta q_\alpha)_R$
EW penguin	$Q_7 = \frac{3}{2} (\bar{s}_\alpha d_\alpha)_L \sum_q^{3f} e_q (\bar{q}_\beta q_\beta)_R$ $Q_8 = \frac{3}{2} (\bar{s}_\alpha d_\beta)_L \sum_q^{3f} e_q (\bar{q}_\beta q_\alpha)_R$ $Q_9 = \frac{3}{2} (\bar{s}_\alpha d_\alpha)_L \sum_q^{3f} e_q (\bar{q}_\beta q_\beta)_L$ $Q_{10} = \frac{3}{2} (\bar{s}_\alpha d_\beta)_L \sum_q^{3f} e_q (\bar{q}_\beta q_\alpha)_L$

- $M_{ij} = G_{ik}^{4-3}(x-y)(G^{3-3}(x-y)^{-1})_{kj}$ 
  - ▶  $G^{3-3}(x-y)^{-1}$  exists when  $O_i^{3f}$  are independent
- $\Delta S = 1$  operators ( $n_f = 3$ )
  - ▶ 3 relations among the 10 operators  
**Fierz transformation + linear algebra**
  - ▶ 7 independent ones  
 (if theory is not dimensionally regularized)

# Operator basis for $\Delta S=1$

$(n_L, n_R)$ : Representation of  $SU(3)_L \times SU(3)_R$

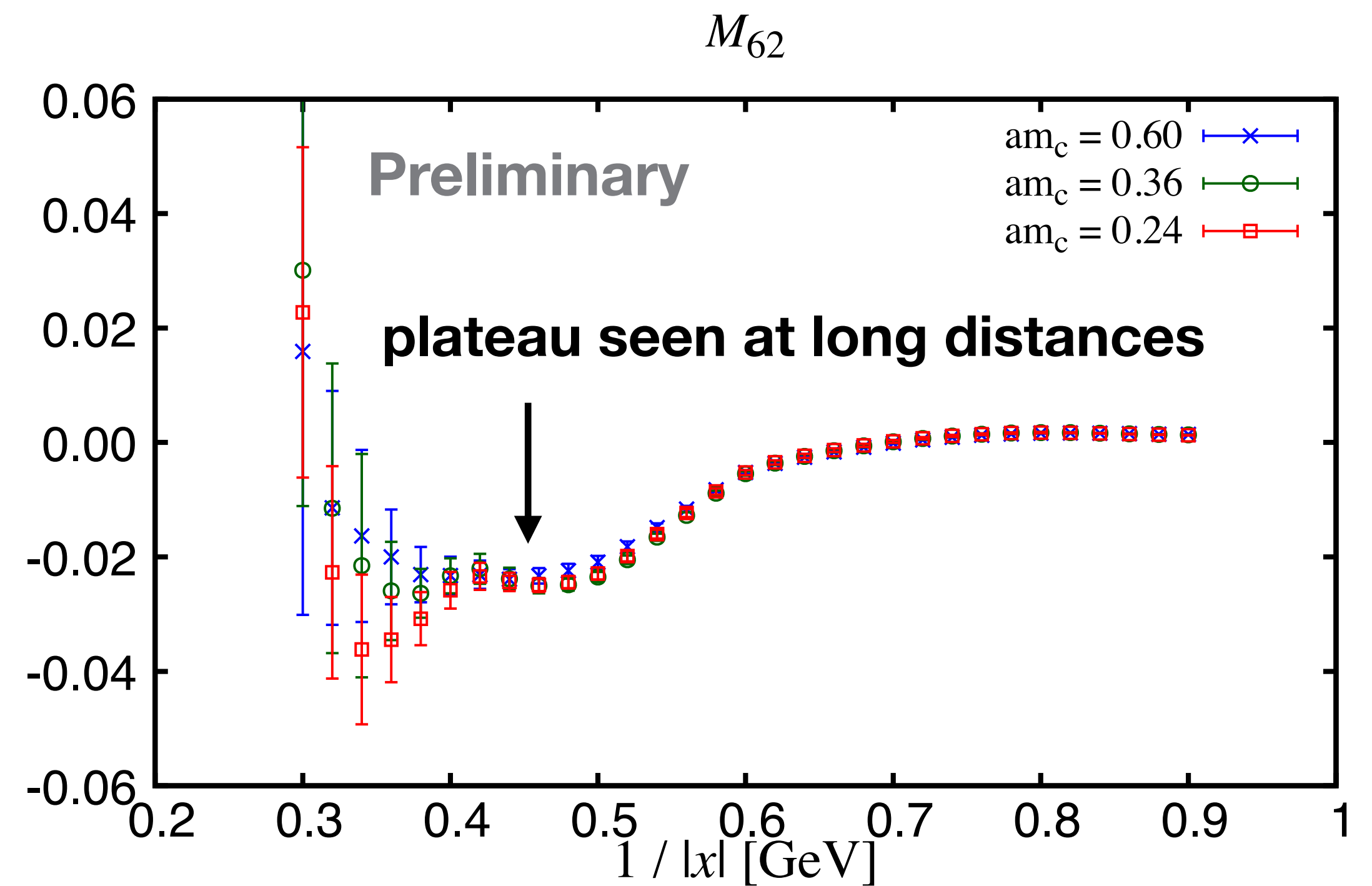
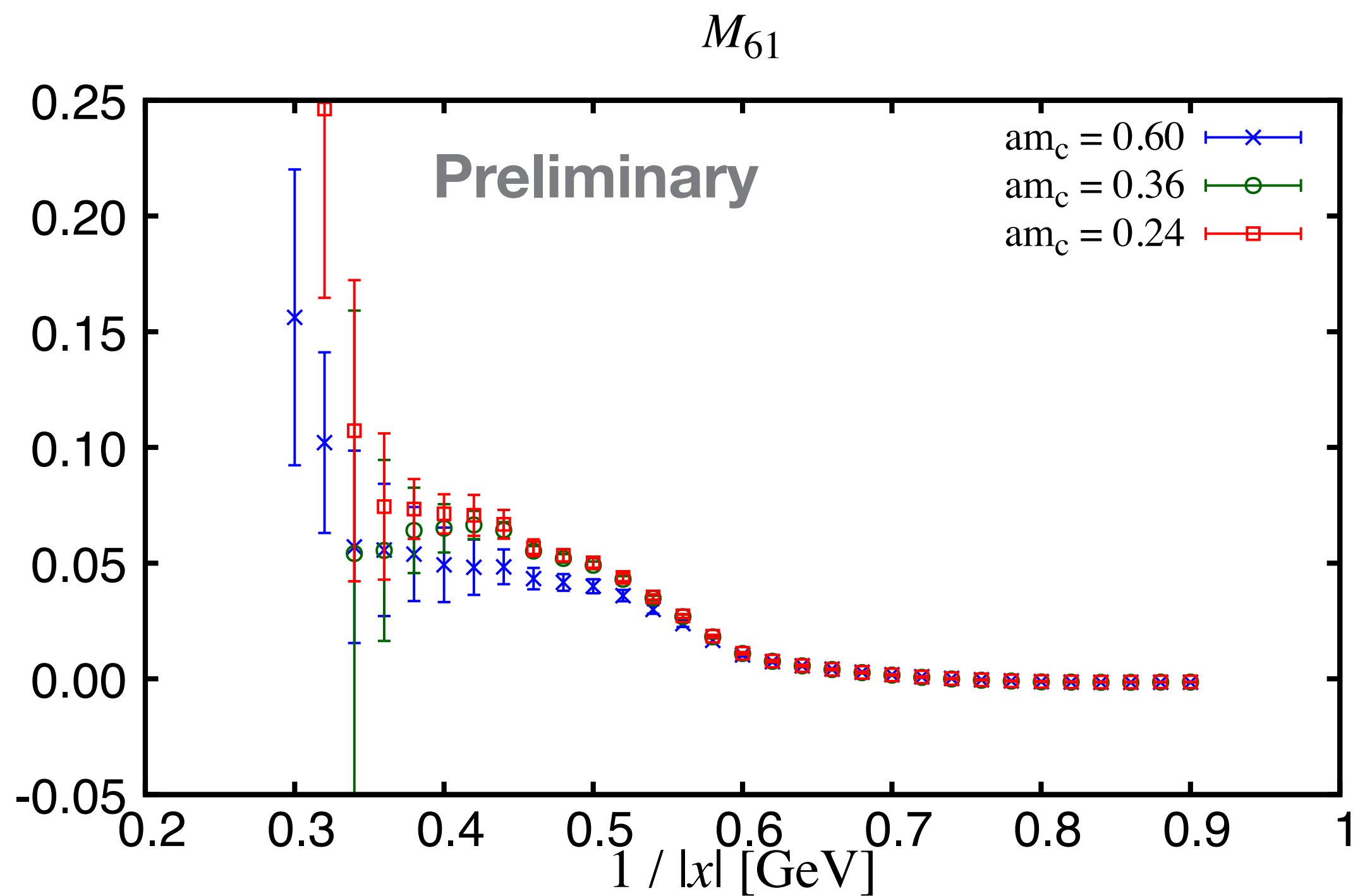
- Classification of 7 independent  $n_f = 3$  operators
  - 1 in  $(27, 1)$ ; 4 in  $(8, 1)$ ; 2 in  $(8, 8)$
- 4 charm operators  $(\bar{s}_\alpha d_{\alpha/\beta})_L (\bar{c}_\beta c_{\beta/\alpha})_{L/R}$  all in  $(8, 1)$
- Only operators in  $(8, 1)$  matter
  - $O_j^{3f} = (Q'_1, Q'_2, Q'_3, Q'_4)$
  - $O_i^{4f} = (Q'_1, Q'_2, Q'_3, Q'_4, P_1, P_2, P_3, P_4)$

$$\Rightarrow M_{ij} = \begin{pmatrix} \mathbf{1}_{4 \times 4} \\ \dots\dots\dots \\ \bullet & \bullet & \bullet & \bullet \\ \bullet & \bullet & \bullet & \bullet \\ \bullet & \bullet & \bullet & \bullet \\ \bullet & \bullet & \bullet & \bullet \end{pmatrix}$$

16 nontrivial elements

# 小さい格子でテスト計算

- 1.78 GeV の格子での結果



チャームがちゃんと乗る 3.15 GeV の格子で計算中

# まとめ ( $\epsilon'$ )

- G-parity 境界条件を用いた計算のアップデート
  - ▶ 統計数 : 216 confs  $\rightarrow$  741 confs
  - ▶  $\pi\pi$  の演算子を増やして励起状態の寄与を分離
  - ▶ ステップスケールリング  $\rightarrow$  摂動計算の不定性を削減
  - ▶  $\text{Re}(\epsilon'/\epsilon)$  &  $\Delta I = 1/2$  則 : 実験と合った
- On-going works
  - ▶ NP matching of Wilson coefficients b/w 3/4-flavor theories
  - ▶  $K \rightarrow \pi\pi$  calculation w/ periodic boundary conditions
  - ◆ Strategy for EM correction & isospin breaking effects being considered